

Обзор экспериментов по поиску WIMP.

Д.Ю. Акимов
ИТЭФ

ØМотивация поиска Темной Материи

ØМетоды поиска

ØФоны и основные принципы построения детекторов

ØЭксперименты:

- DAMA/LIBRA
- Directional experiments
- Пузырьковые камеры
- Низкотемпературные болометры
- Детекторы на жидких благородных газах
- Hi-Tech разработки для детекторов ТМ

Физическая мотивация

Сегодня свидетельства в пользу существования Темной Материи намного сильнее, чем когда-либо!

Астрофизическая мотивация

Кривые вращения спиральных галактик

Гравитационное линзирование скоплениями галактик

Космологическая мотивация

Крупномасштабная структура Вселенной

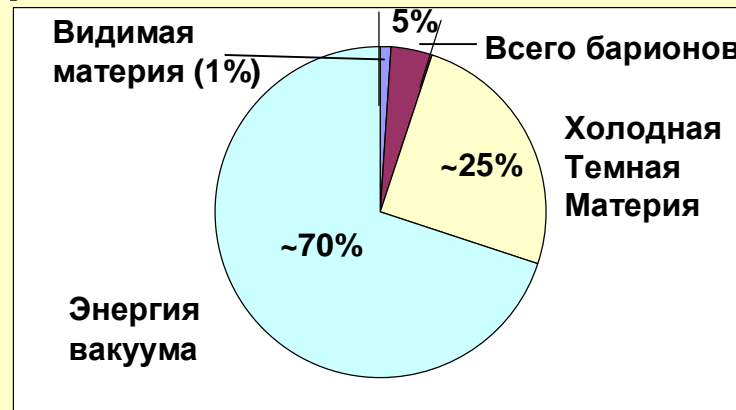
Анизотропия реликтового излучения (CMB)

N-body симуляция

Замечательное согласие выводов по CMB and SN Ia

Теория нуклеосинтеза

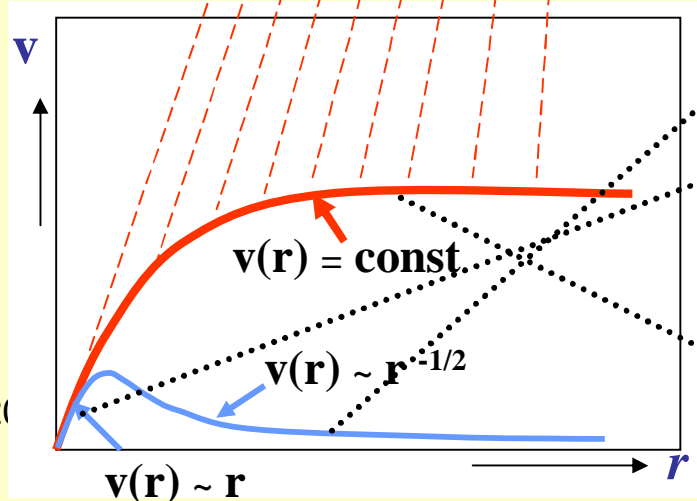
Современная космологическая модель



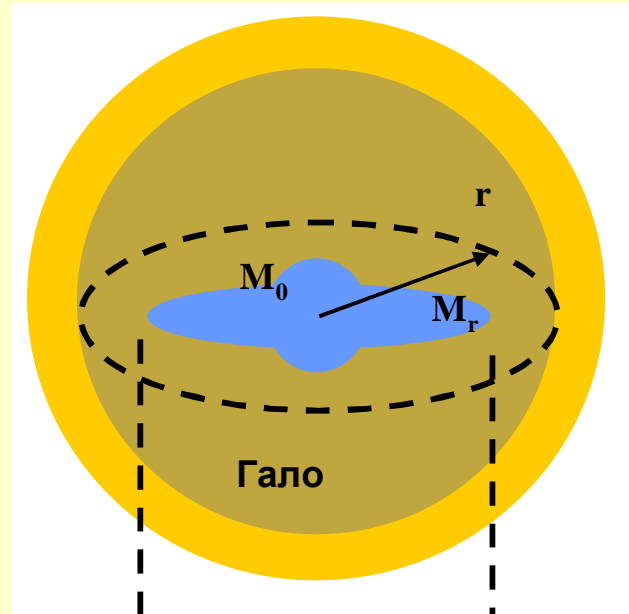
$$\rho \approx \rho_{cr} \Rightarrow \\ W = \rho / \rho_{cr} \approx 1$$

Астрофизические свидетельства

Что же наблюдается на галактических масштабах?



11.04.20



$v(r) \sim r^{-1/2}$ для случая центральной массы M_0

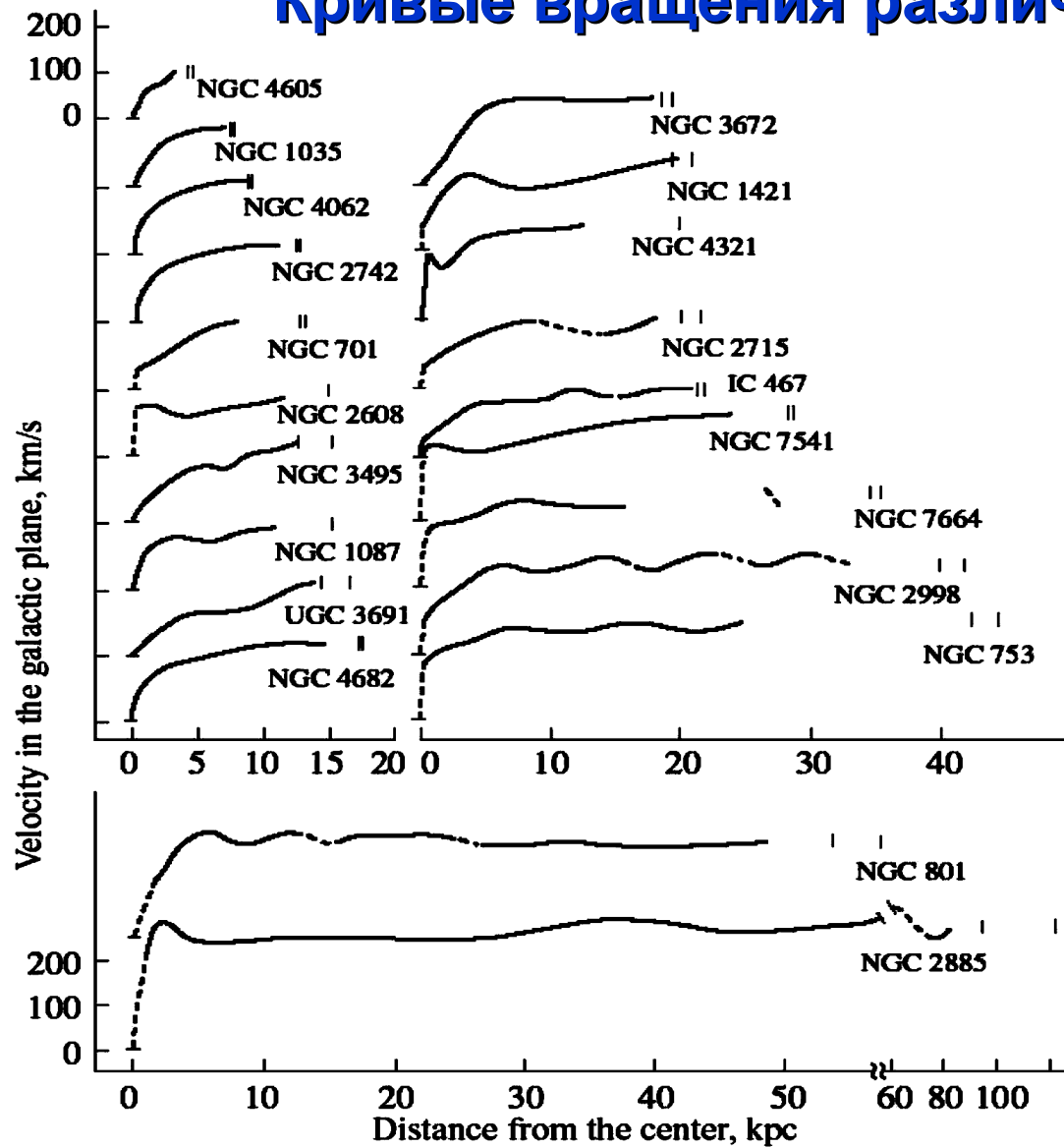
$v(r) \sim r$ для случая равномерного распределения массы ($M_r \sim r^3$)

$v(r) = \text{const}$ для случая $M_r \sim r$

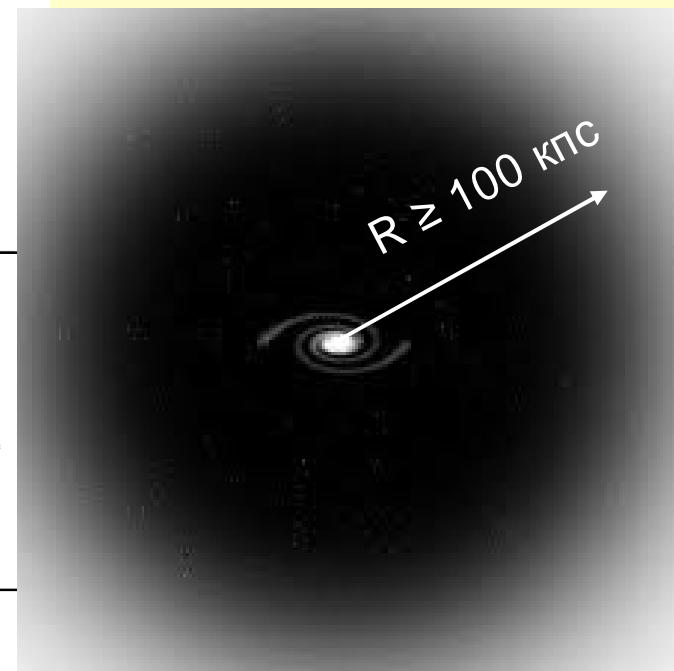
3, INR seminar

Астрофизические свидетельства

Кривые вращения различных галактик

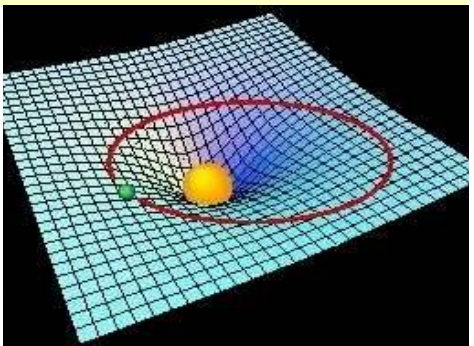


Для объяснения такого
поведения кривых
необходимо количество
гравитирующей материи
в ~10 раз превышающее
количество видимой!

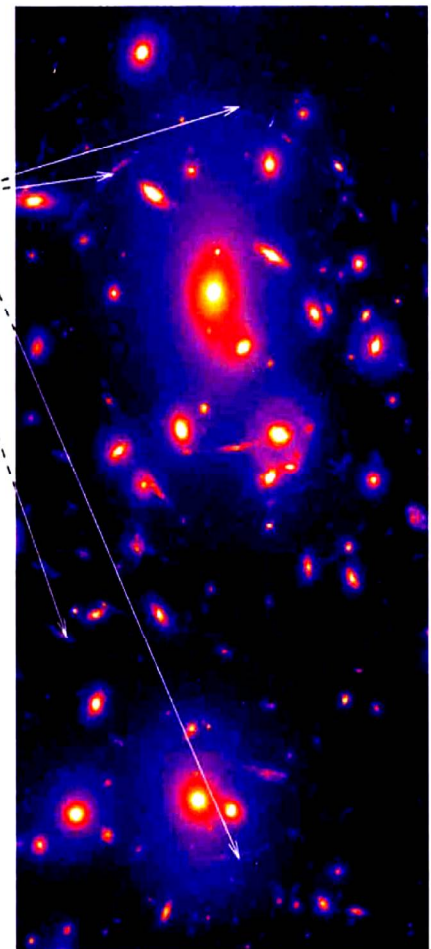
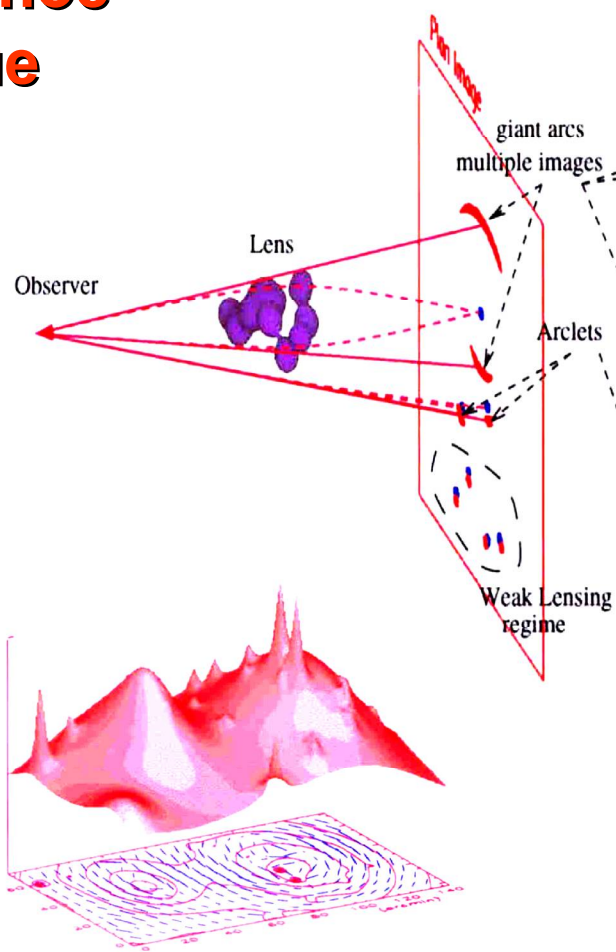
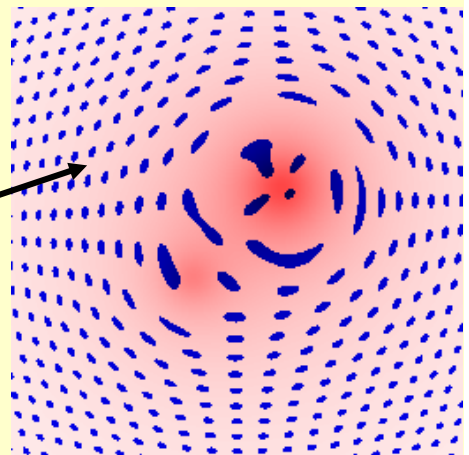


Астрофизические свидетельства

Гравитационное линзирование

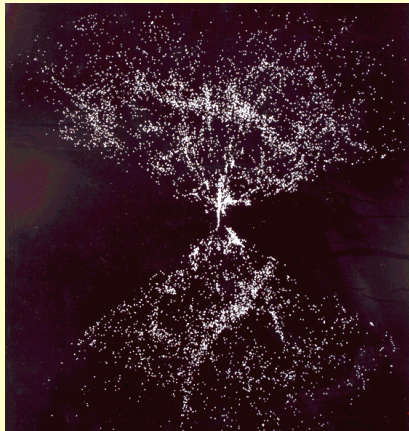


Так выглядел бы регулярный паттерн, находящийся за "размазанным" массивным объектом

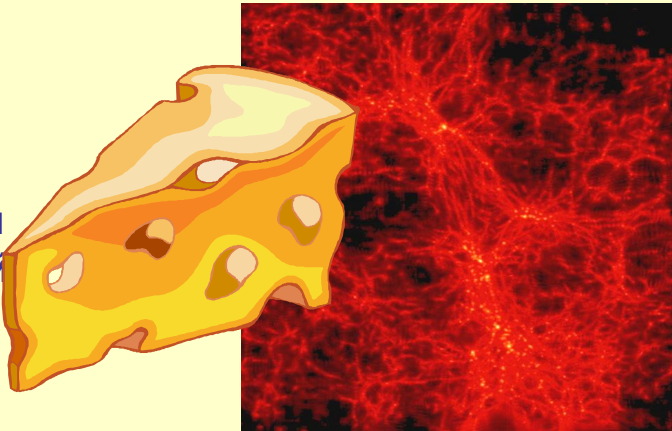


Также требуется в ~10 раз большая масса

Космологическая мотивация



Крупномасштабная структура Вселенной, реконструированная из измерений красного смещения объектов



Результат N-body симуляции, проведенный на суперкомьютерах

Главный результат симуляции – Темная Материя должна быть холодной (нерелятивистской)

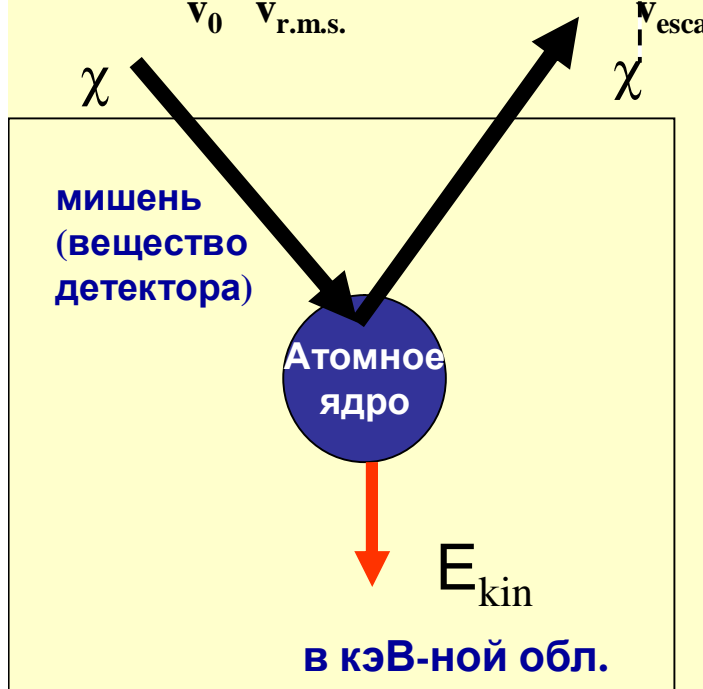
Теория Суперсимметрии SUSY предоставляет нам новый класс частиц.

Нейтралино – наиболее вероятный кандидат в WIMP - (Weakly Interacting Massive Particles)

Диапазон масс от неск. дес. до неск. сотен ГэВ

Местная галактическая плотность $\sim 0.3 \text{ ГэВ/см}^3$ ~неск. частиц в литре!

Регистрация WIMP: прямое детектирование



$s \sim A^2$ - spin-independent (SI) interaction

$s \sim J(J+1)$ - spin-dependent (SD) interaction

$$\frac{dn_w}{dv} = 4\rho \left(\frac{1}{\rho v_0^2} \right)^{3/2} v^2 \exp\left(-\frac{v^2}{v_0^2}\right)$$

$$\frac{dN}{dE} = \frac{r}{M_c} s N_N \frac{M_N c^2}{4m_{\text{red}}^2 v_0} \frac{g(h, E)}{h} F_N^2(E)$$

$$g(h, E) = \begin{cases} \text{erf}(x + h) - \text{erf}(x - h) - \frac{4}{\sqrt{p}} h e^{-z^2} & x \leq z - h \\ \text{erf}(z) - \text{erf}(x - h) - \frac{2}{\sqrt{p}} (z + h - x) h e^{-z^2} & z - h \leq x \leq z + h \\ 0, & x \geq z + h, \end{cases}$$

M_χ , M_N и m_{red} – masses of WIMP and target nucleus, and their reduced mass, respectively;

$$x_i = \sqrt{\frac{M_i E_i}{2m_{\text{red}}^2 v_0^2}} \quad h = \frac{v_{\text{Earth}}}{v_0} \quad z = \frac{v_{\text{escape}}}{v_0}$$

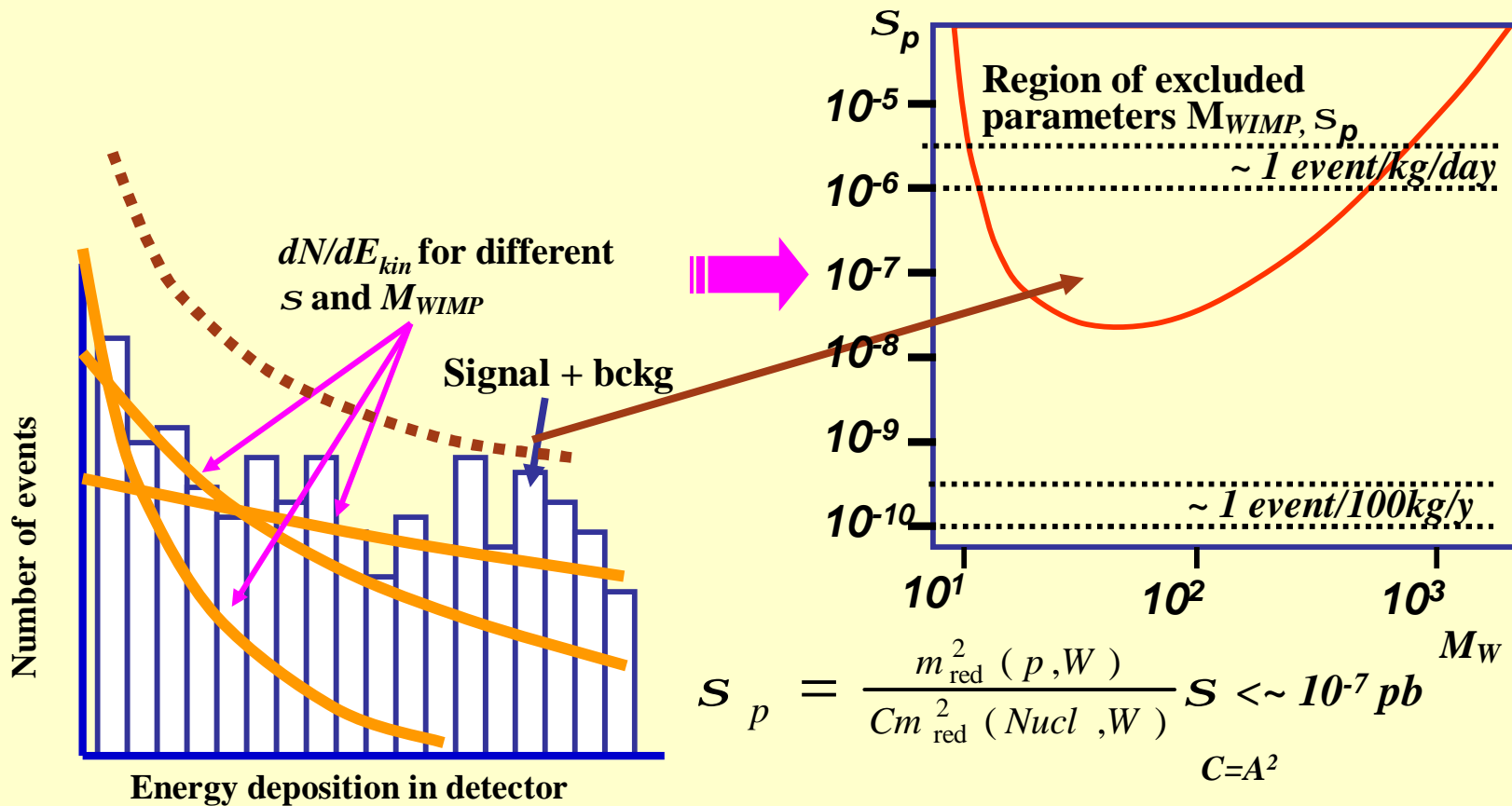
$v_{\text{Earth}} = 232$ km/s – Earth velocity,

$v_0 = \sqrt{\frac{2}{3}} v_{\text{r.m.s.}}$ – Quasi-Maxwell distribution parameter,
 N_N – number of target nuclei,

$\rho = 0.3$ GeV/cm³ – WIMP density in Galactic halo,

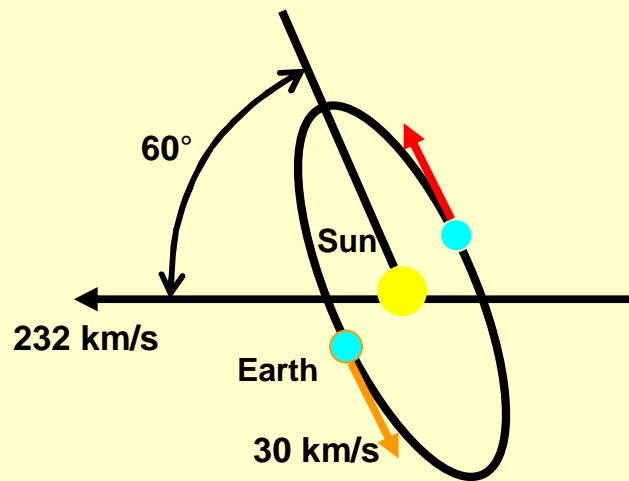
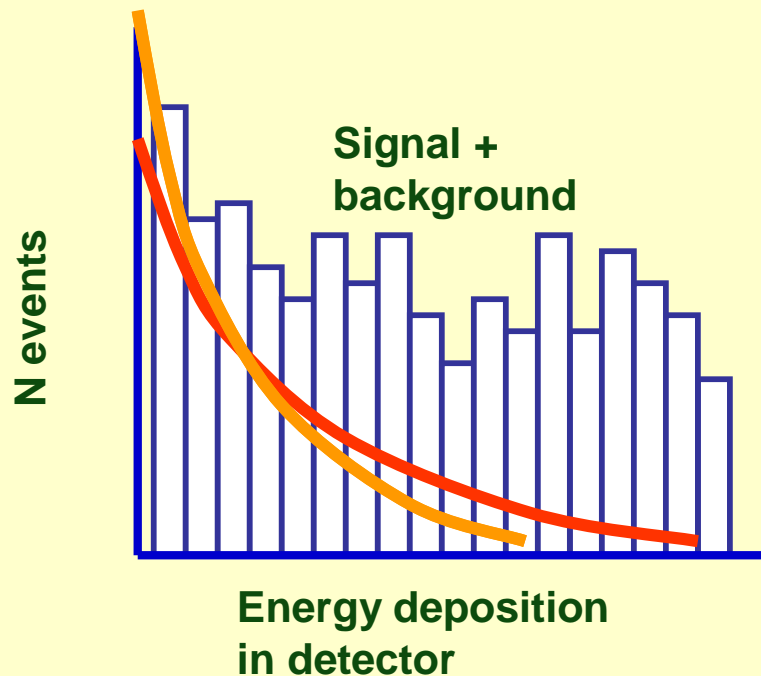
Д.к. s – WIMP interaction cross-section,
 $F_N^2(E)$ – nuclear form factor

Регистрация WIMP: прямое детектирование



Exponential behavior is very similar to that
of bckg of various origins.

Регистрация WIMP: годичная модуляция



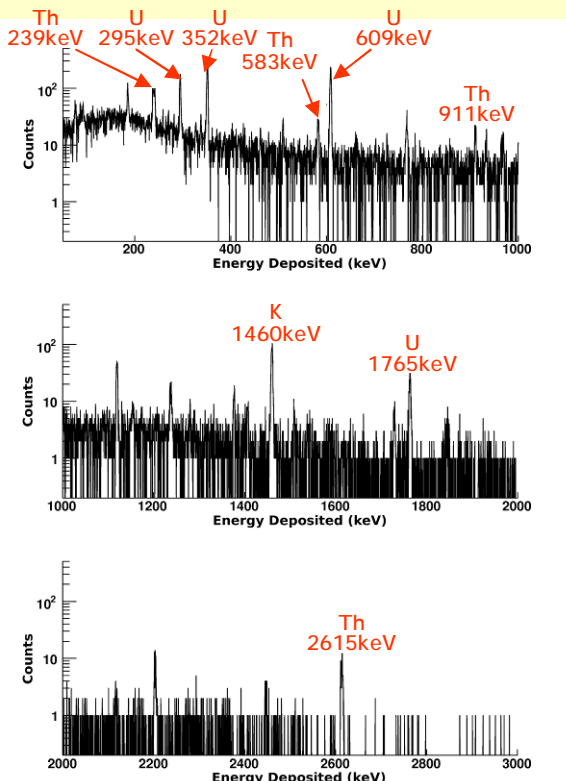
Ожидаемая вариация темпа счета WIMP $\sim 5\%$
(с максимумом 2 го июня)

Регистрация WIMR: фоновые условия

The use of low-radioactive materials ONLY !

Every component must be screened with Ge detector or MS or NAA!

The main contaminants are the isotopes of U/Th chains and ^{40}K



Construction materials:

Teflon $\text{U} < 0.7 \cdot 10^{-9}$, $\text{Th} < 2.3 \cdot 10^{-9}$, $\text{K} < 2.2 \cdot 10^{-6}$

Electrolytic copper - $\text{U} < 1.2 \cdot 10^{-11}$, $\text{Th} < 1.1 \cdot 10^{-11}$, $\text{K} < 5.6 \cdot 10^{-9}$

Detection media used for DM search:

Ge - $\text{U} < 10^{-14}$, $\text{Th} < 1.5 \cdot 10^{-13}$

LXe $\text{U/Th} < \sim 10^{-13}$ (XMASS)

technogenic ^{85}Kr (beta)

Can be removed : K. Abe et al., arXiv:0809.4413v3 [physics.ins-det] by distillation (XMASS)

A.I. Bolozdynya et al., NIM A, 579 (2007), p. 50 by chromatographic separation (Xenon, LUX)

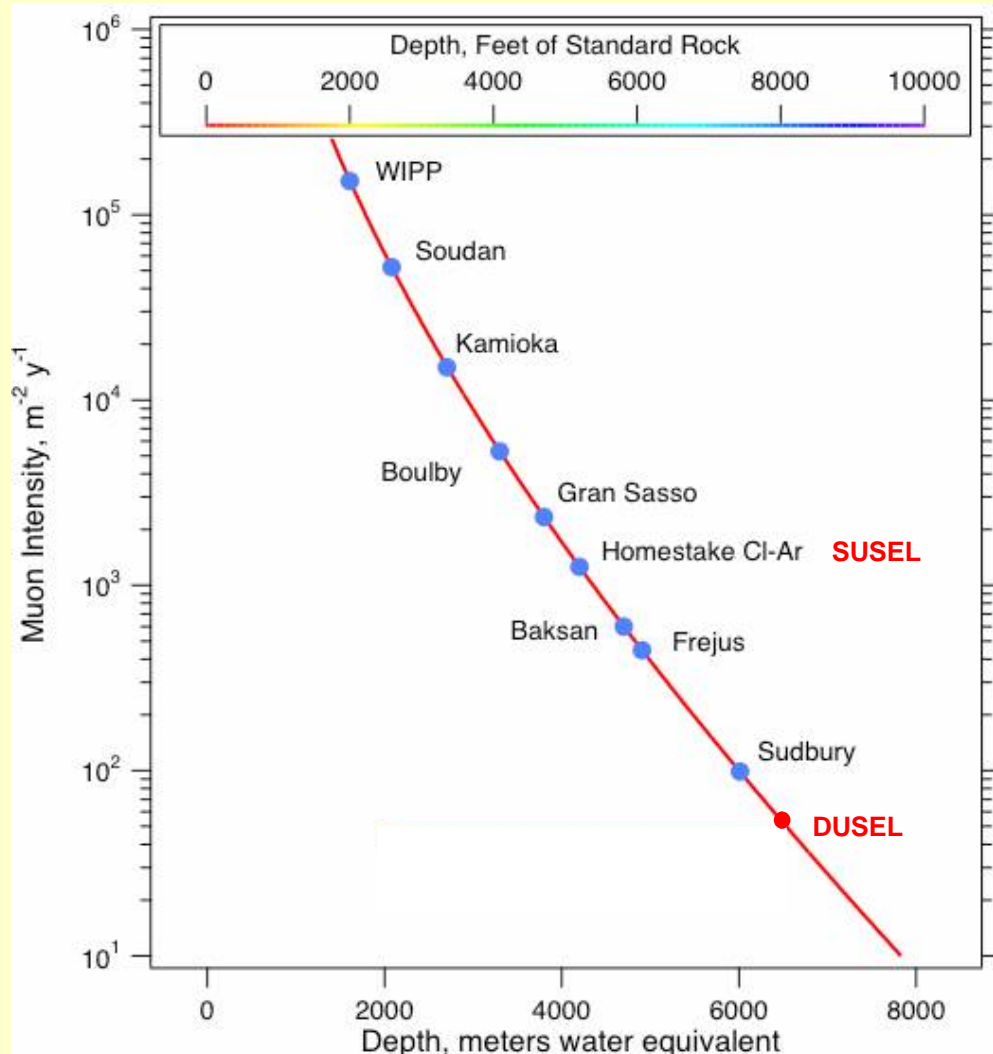
LAr - cosmogenic ^{39}Ar (beta)

Depletion, Ar from underground reservoirs.

Rn – should be removed from the vicinity of setup:
overpressuring by dry pure nitrogen.

Регистрация WIMR: фоновые условия

The experiments are carried out in the underground labs



reduction
of muon
flux by:

10^5

Muon flux at sea level:

$\sim 1 \text{ cm}^{-2} \text{ min}^{-1}$

=

$\sim 5 \cdot 10^9 \text{ m}^{-2} \text{ y}^{-1}$



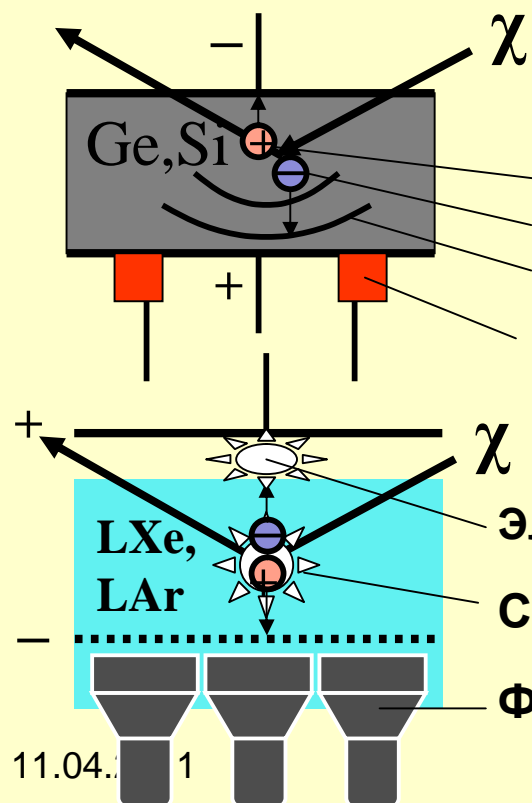
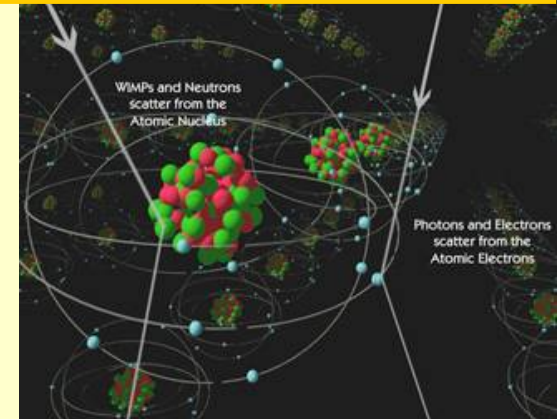
Регистрация WIMPs: как зарегистрировать?

Специализированные детекторы WIMПов

ЗАДАЧА: выключить фоновые взаимодействия – сильное и электромагнитное!

Основные свойства:

- ✓ одновременное измерение выделенной энергии по 2 и более независимым каналам. Ядро отдачи и гамма-кв. разделяются по соотношению сигналов. Либо детектор должен быть не чувствителен к электромагнитному фону.
- ✓ низкий порог регистрации (на уровне неск. кэВ)



Низкотемпературные болометры

дырки
электроны
фононы
термисторы

Частицы производят **ионизацию** и **тепло**; нагревая кристалл на $\sim 10^{-6}$ К (теплоемкость при низких т-рах падает как T^3)

Работают при т-рах нес. дес. мК

Двухфазные детекторы на благородных газах

Электролюминесценция EL
Сцинтиляция SC
ФЭУ

Частицы производят **сцинтиляцию** и **ионизацию**. Работают при $T \sim 100$ К

Регистрация WIMP: эксперименты

Experiment	Target	Experiment	Target
ANALIS	Nal	DAMA/LXe	LXe
DAMA/Nal	Nal	WARP	LAr
DAMA/LIBRA	Nal	XENON 10	LXe
DAMA/1 ton	Nal	XENON 100	LXe
NAIAD	Nal	Zeplin I	LXe
HDMS	Ge	Zeplin II	LXe
KIMS	CsI	Zeplin III	LXe
Caf2-Kamioka	CaF2	ArDM	LAr
CDMS	Ge	LUX	LXe
CRESST	CaWO4	LZS/LZD	LXe
EDELWEISS	Ge	MAX	LXe/LAr
EURECA	Ge	CLEAN	LNe
ROSEBUD	Ge, sapphire	DEAP	LAr
COUPP	FSH	XMASS	LXe
PICASSO	FSH	MIMAC	3He gas
SIMPLE	FSH		
NEWAGE	CF4		
DM-TPC	CF4		
Drift	CS2		
MIMAC	3He gas		

11.04.2014

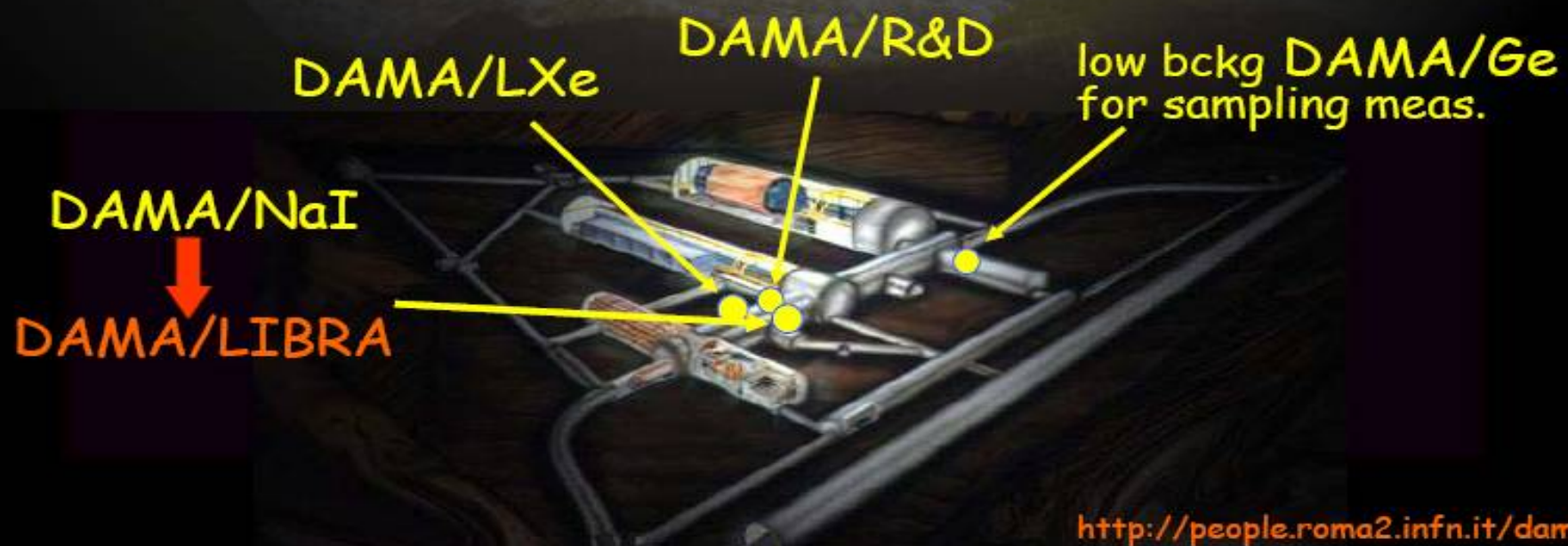
д.ю. Акимов, INR seminar

Experiments: DAMA/LIBRA

Roma2,Roma1,LNGS,IHEP/Beijing

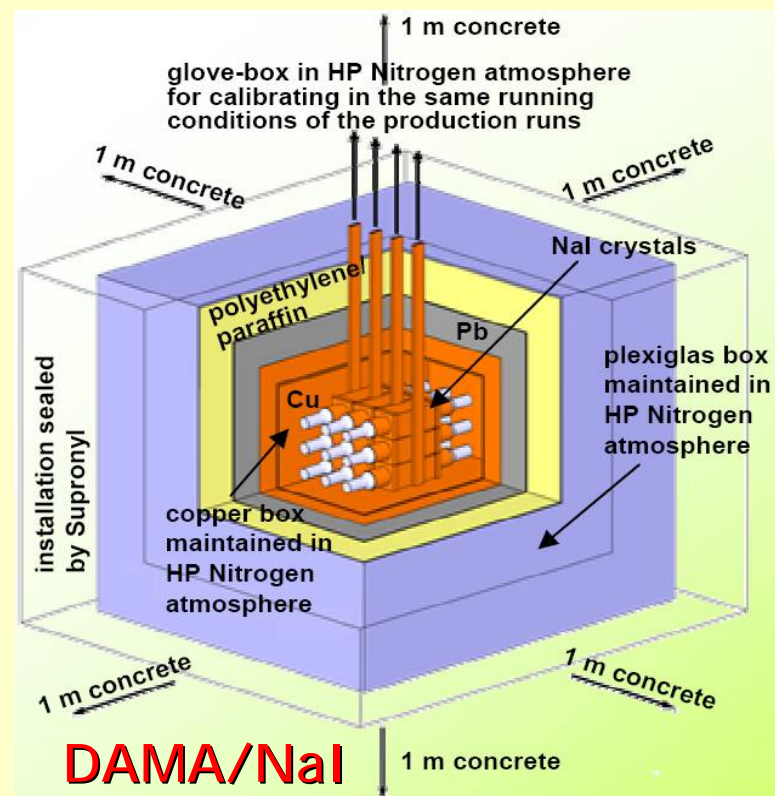


DAMA: an observatory for rare processes @LNGS



Experiments: DAMA/LIBRA

9 crystals NaI(Tl) 9,7 kg each, placed in a copper box, then lead, polyethylene, paraffin and enclosed in a plexiglas box filled with HP N2 to protect from Rn



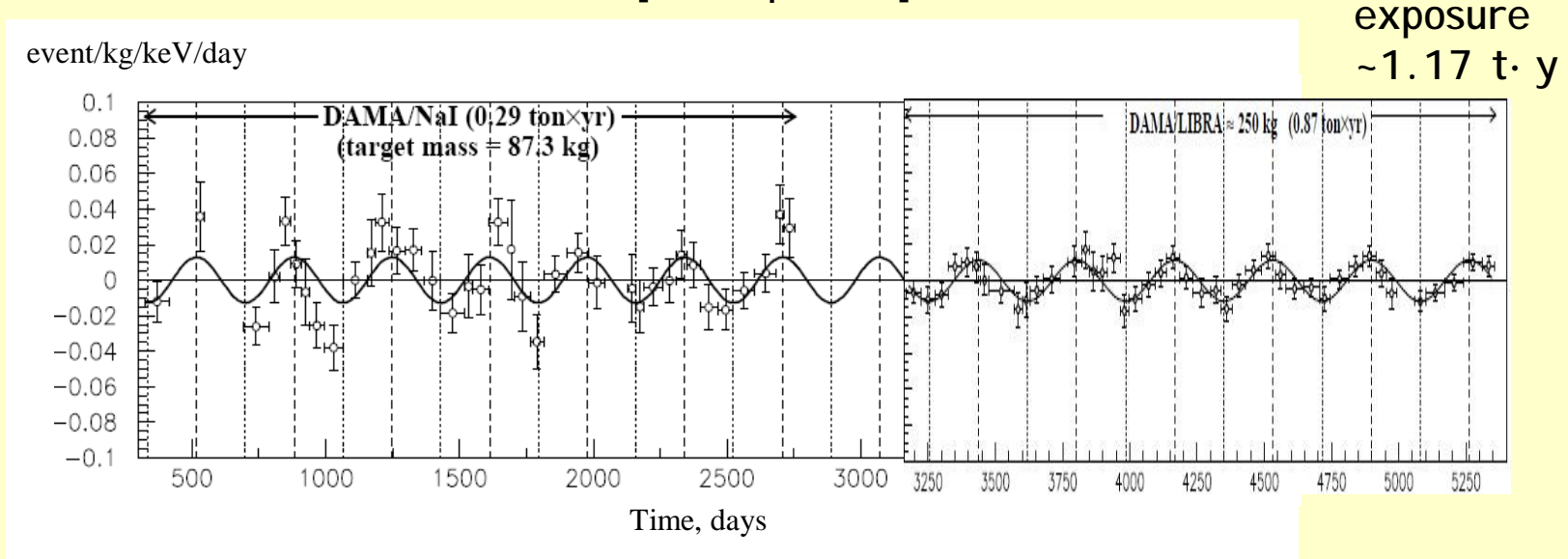
LIBRA- 25 of the same type in the same shield; 250 kg.
Data taking with LIBRA 2003 - 2008



Experiments: DAMA/LIBRA

Deviation of the count rate from the mean value (2 – 6 keV only)
during the whole exposure time on both setups DAMA and LIBRA

arXiv:1002.1028v1 [astro-ph.GA]

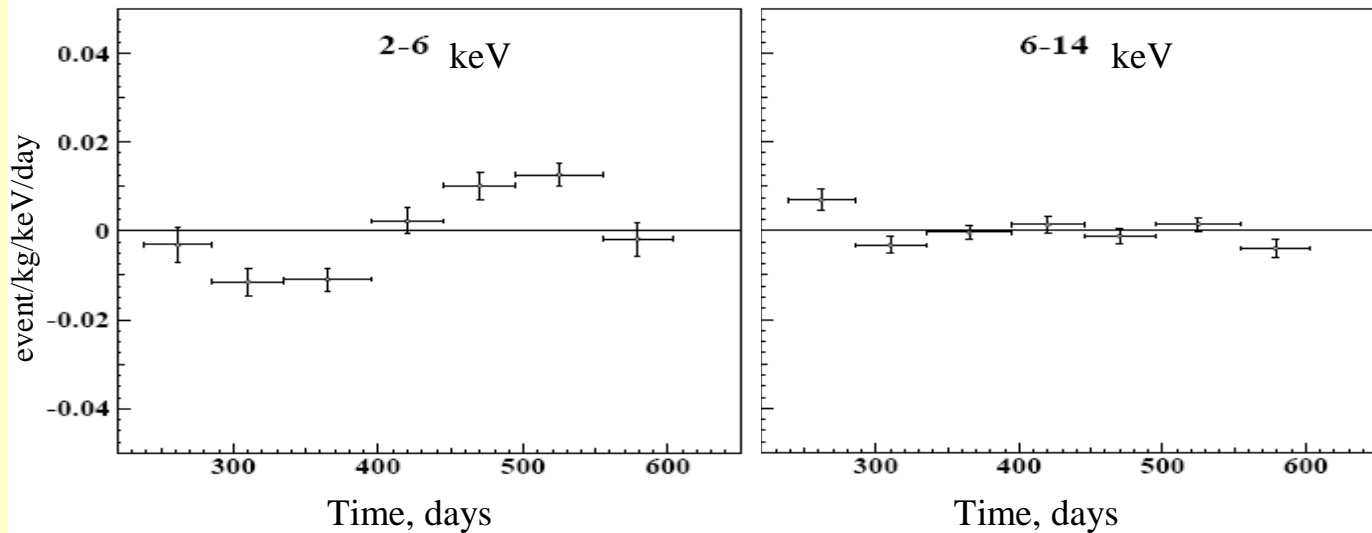


$A \cdot \cos \omega(t - t_0)$ with a period $T = 2\pi/\omega = 0.999 \pm 0.002$ y,
and a phase $t_0 = 146 \pm 7$ day, which is very close to the expected: 152,5 days (2 June)

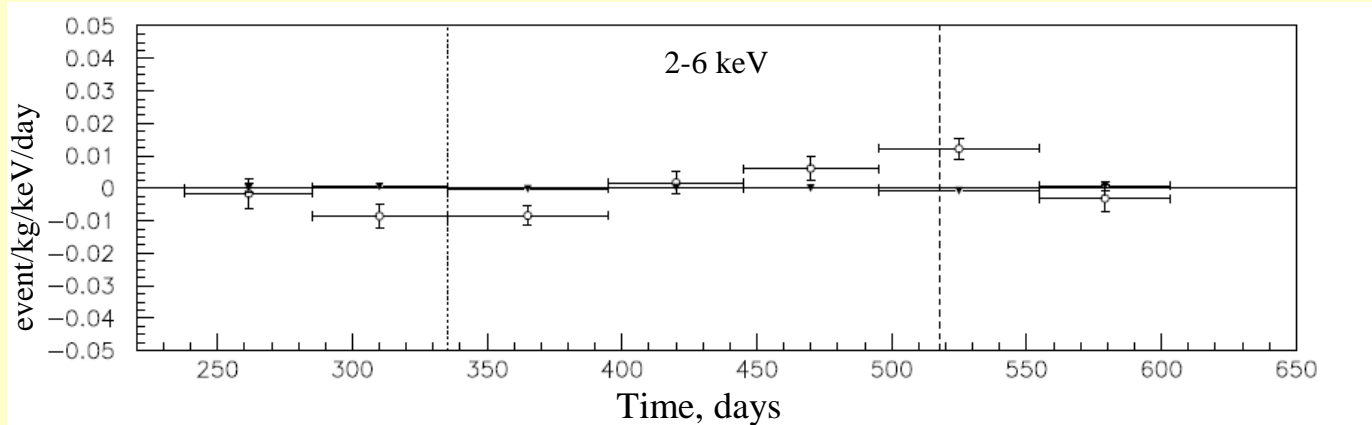
$A = (0.0114 \pm 0.0013)$ event/kg/keV/day, C.L. = 8.8σ

Experiments: DAMA/LIBRA

Data reduced to one period:

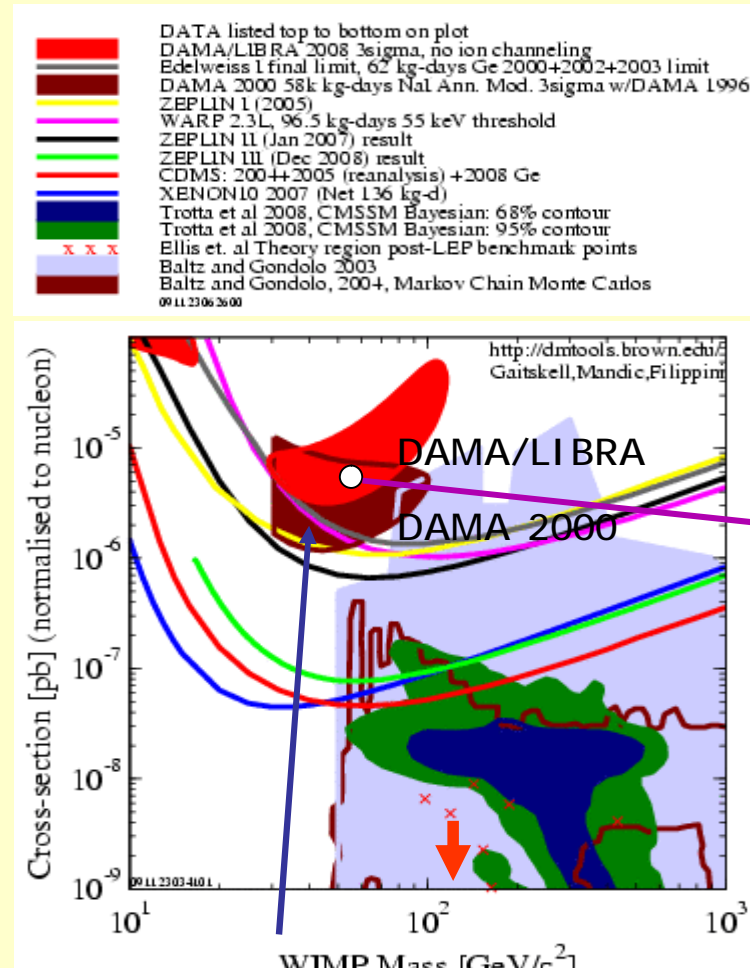


The effect takes place
only in 2-6-
keV interval



The effect takes
place only for
single "hits"!

Experiments: DAMA/LIBRA



The regions of allowed

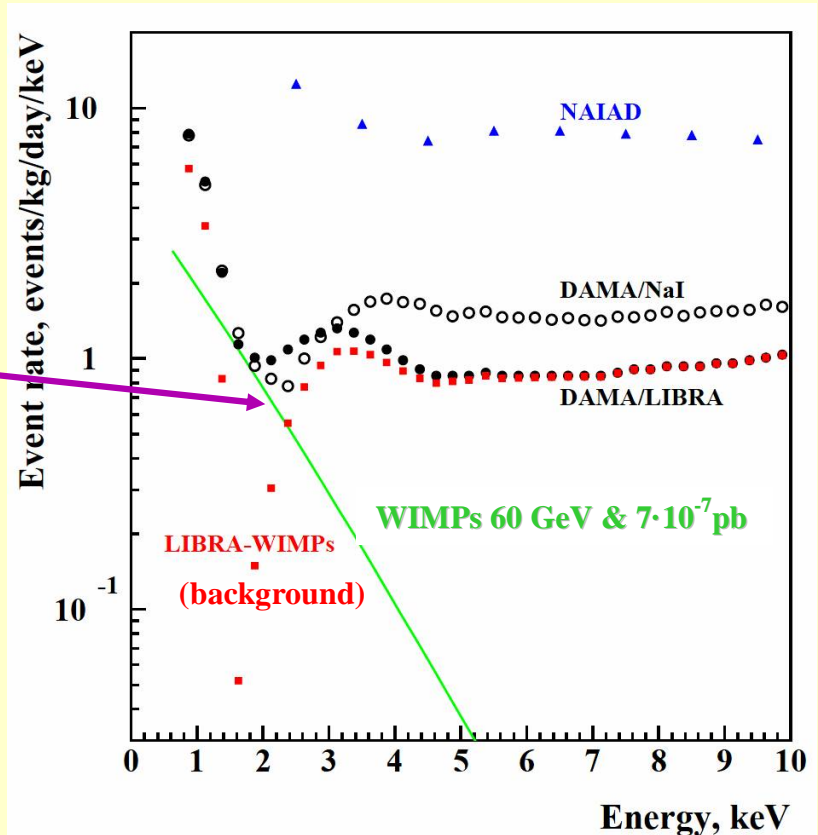
$$\sigma_p, M_w$$

11.04.2011

Д.Ю. Акимов, INR seminar

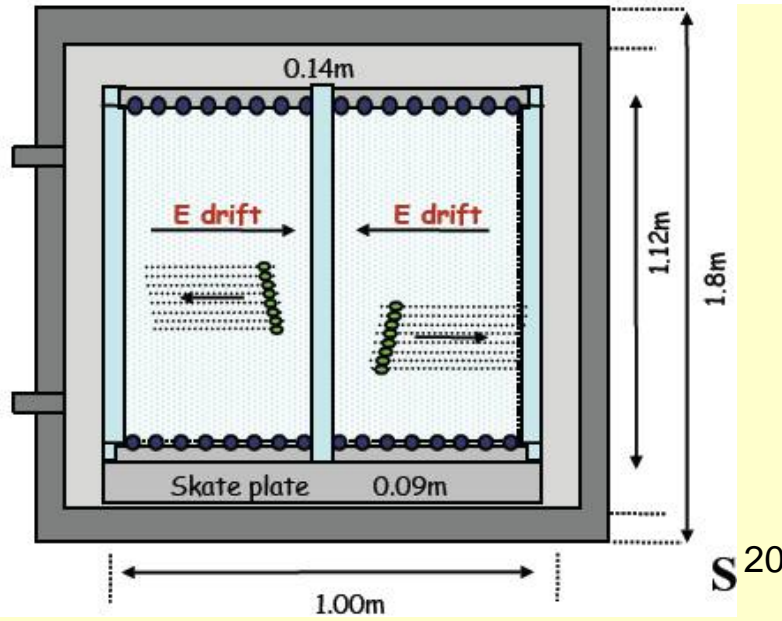
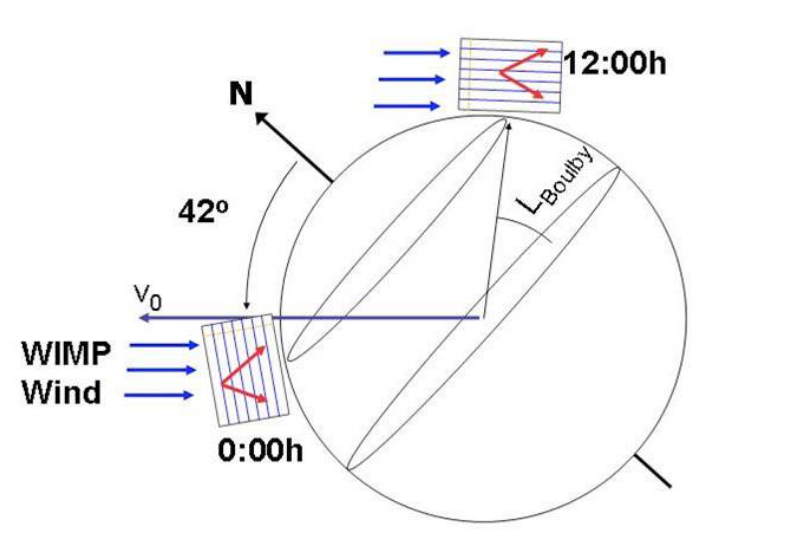
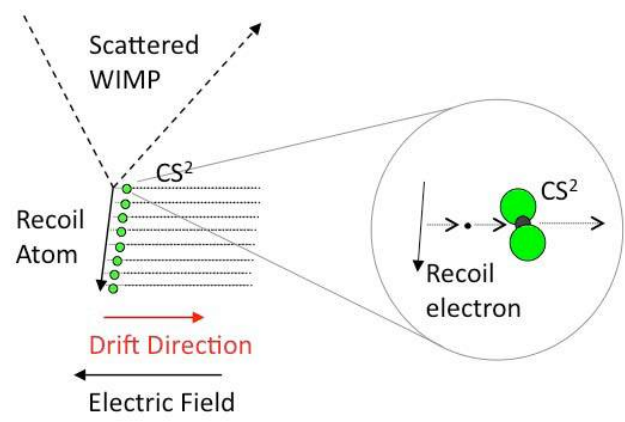
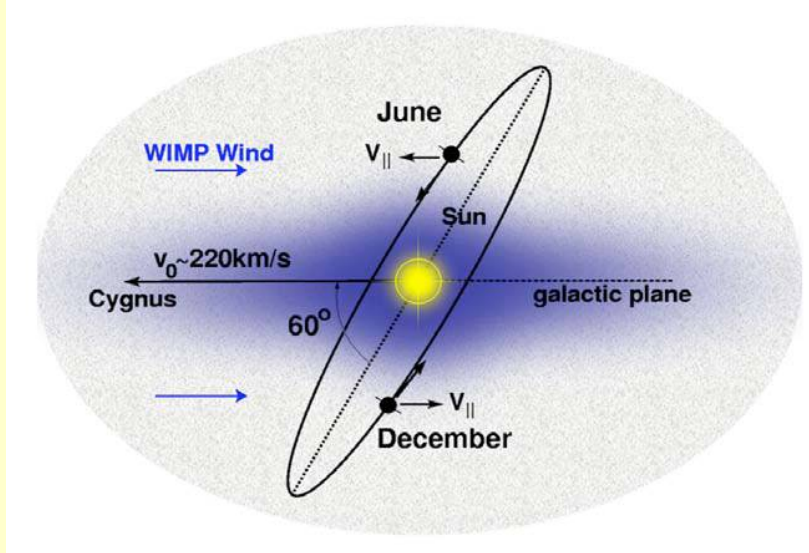
But there is a significant discrepancy!

arXiv:0912.2983v1 [hep-ex]



19

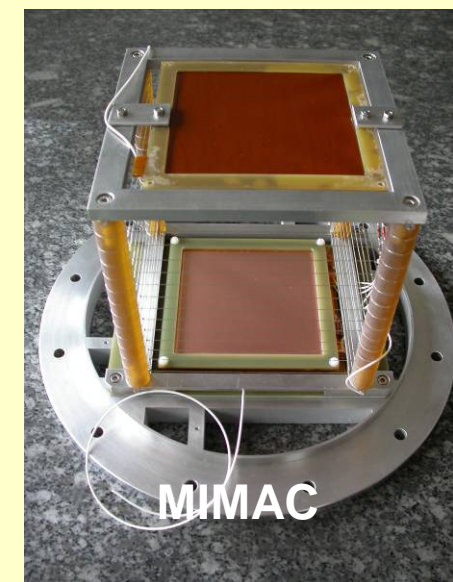
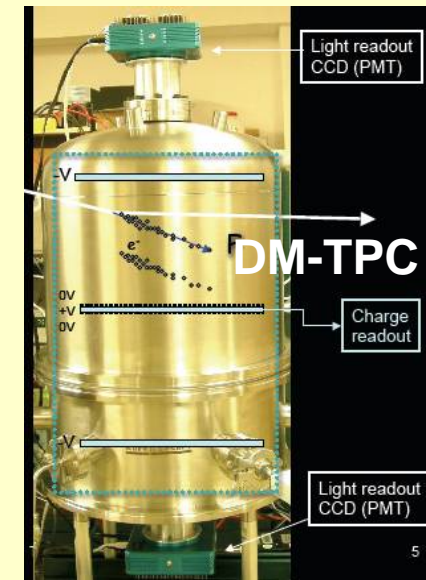
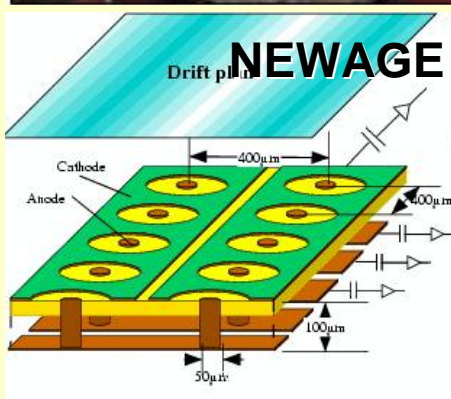
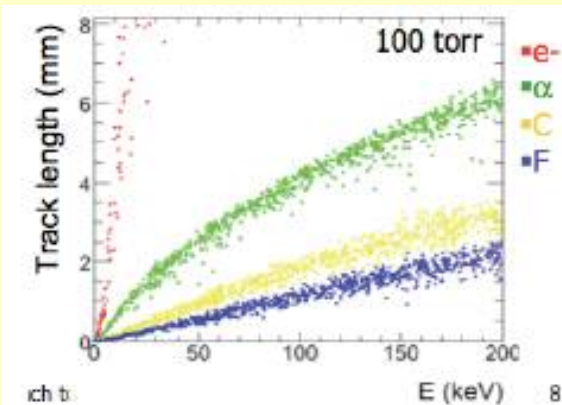
Directional Experiments



Directional Experiments

Directional detectors with low pressure gas (large volume)
Challenge is to measure 3D tracks of low energy recoils

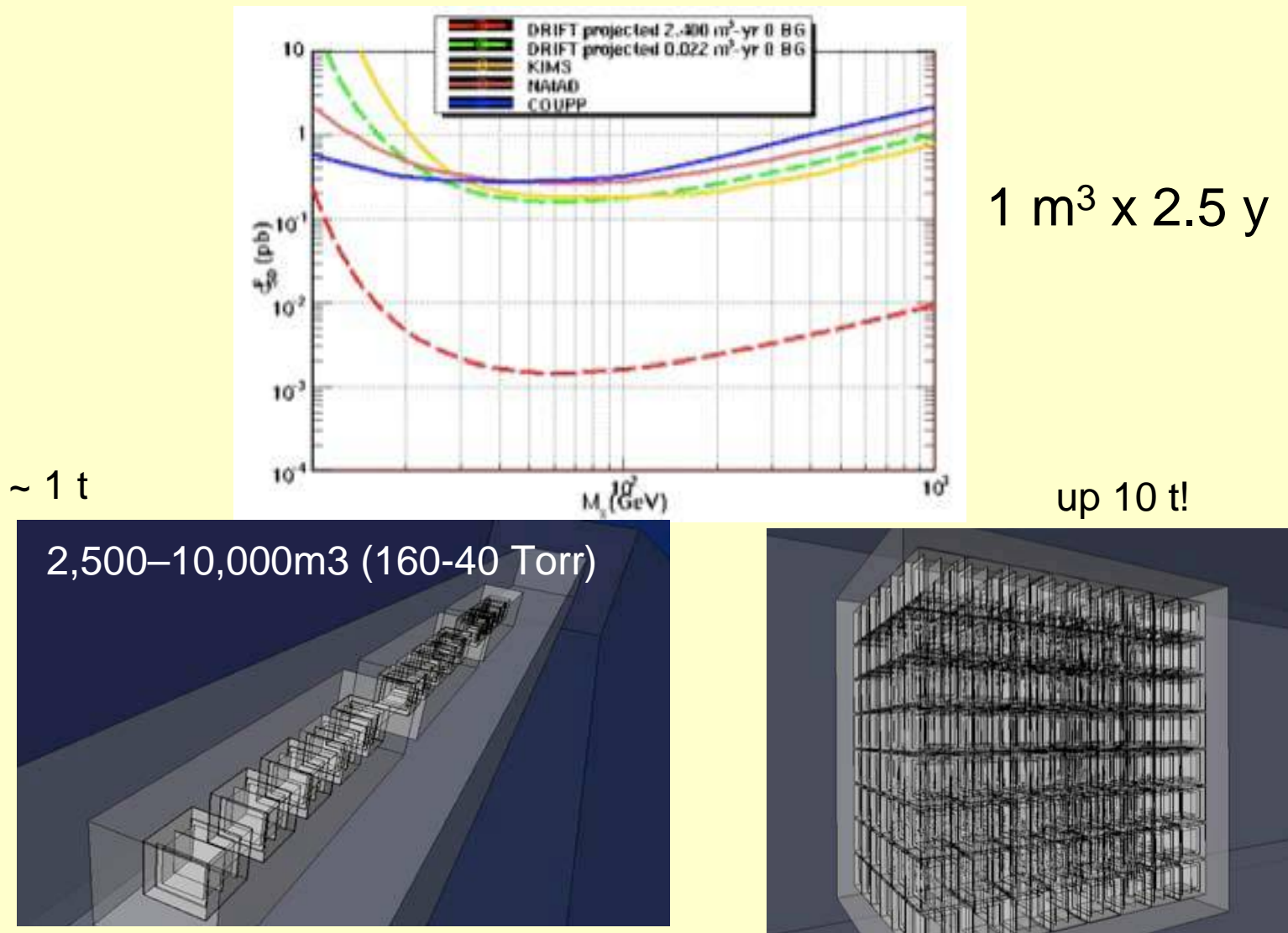
- **DRIIFT-II** @ Boulby mine:
1 m³ MWPCs with 40 torr CS₂ (167 g)
- **DM-TPC** @ MIT: 2x 10-2 m³ with 50 torr CF₄ (PMTs + CCD readout for 3D + E)
- **NEWAGE** @ Kamioka: 23 x 28 x 30 cm³ TPC with 150 torr CF₄ and micowell readout
- **MIMAC** @ Saclay : 3 He & CF₄ TPC modules (3 x 3 cm Micromegas with pixellized anode)



Д.Ю.

11.04.2011

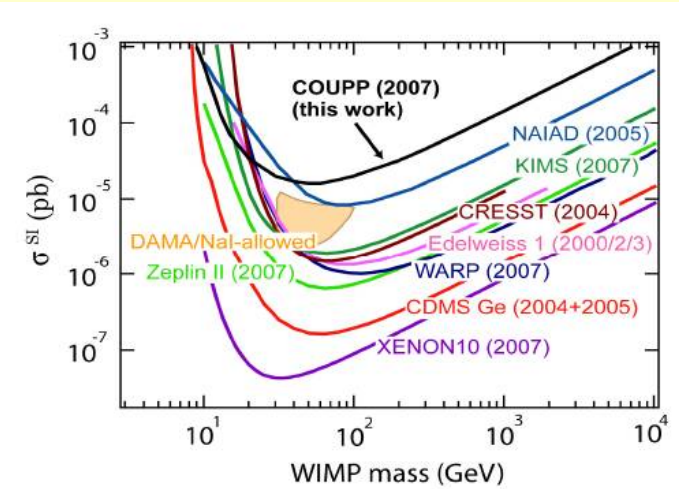
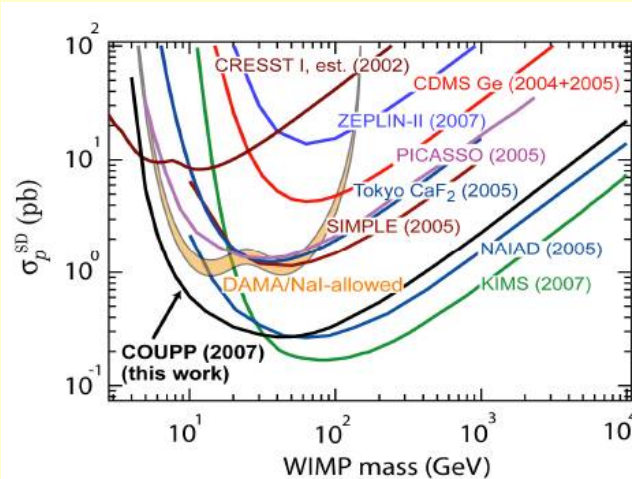
DRIFT-II^d SD limits



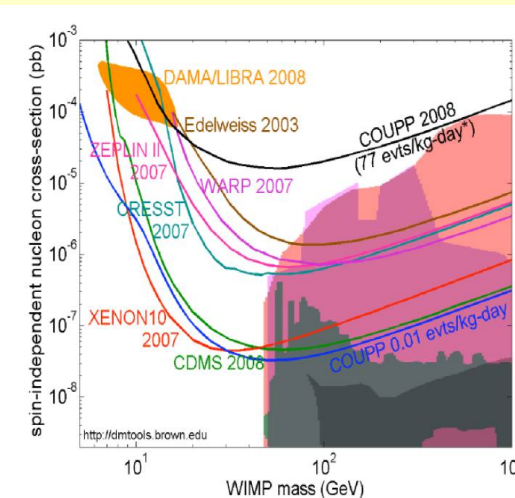
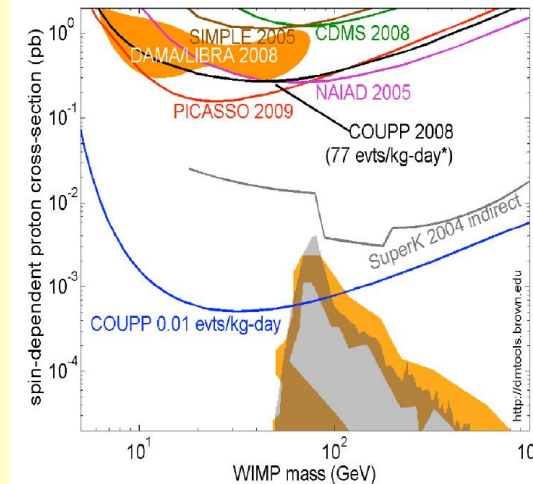
COUPP - Chicagoland Observatory for Underground Particle Physics

A bubble chamber; superheated CF_3I

The limits obtained with 1.5-kg at Fermilab E. Behnke, et al. *Science* 319, 933 (2008):



60kg chamber being commissioned at Fermilab
Proposed to SNOLAB



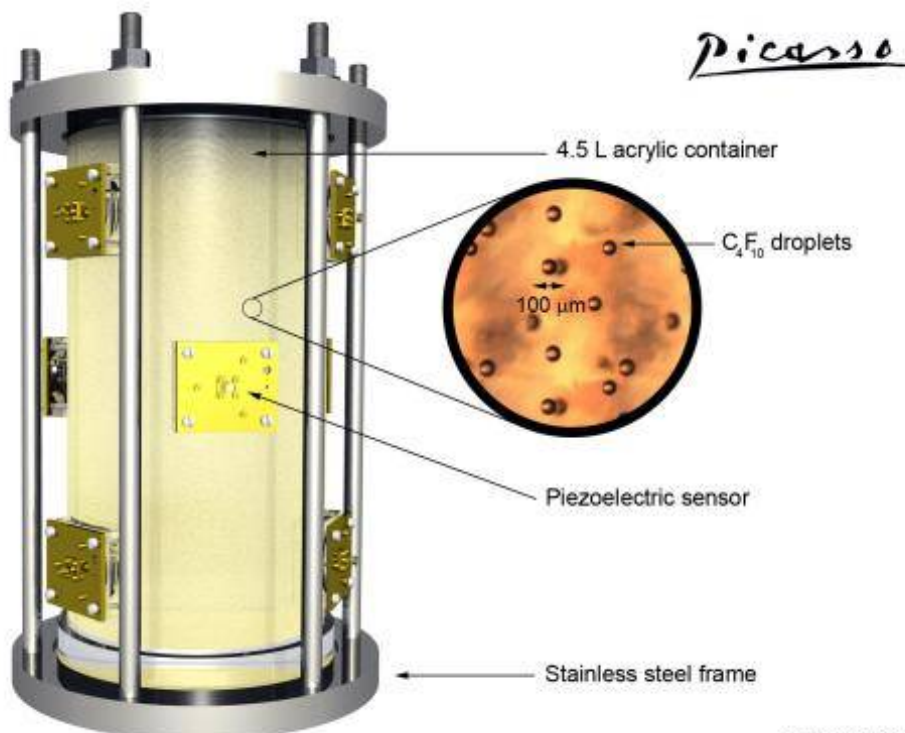
PICASSO

Experiment at SNOLAB

4.5L module with 80g of active mass of C₄F₁₀.

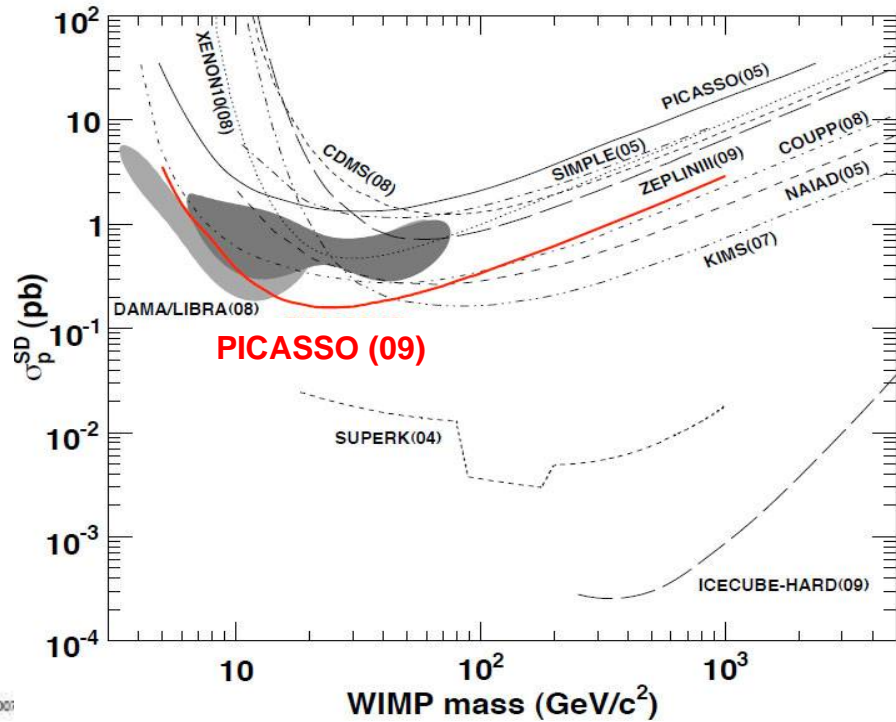
Superheated droplets are suspended in an elastic polymer

Signals are recorded by 9 piezo electric sensors. Events are localised by GPS-like triangulation.



Alex Pepin, Martin Auger 2001

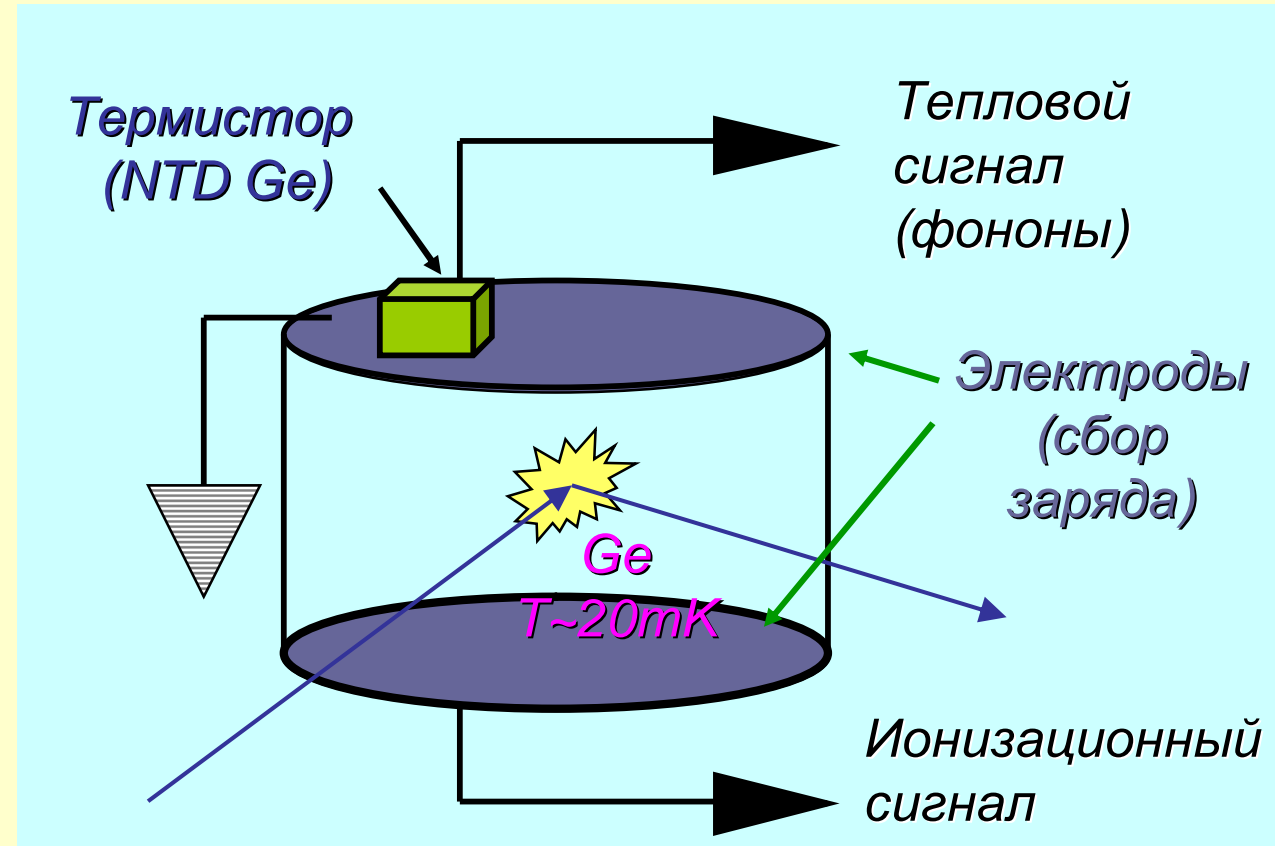
Presently PICASSO is installing a new experiment with 32 detector modules as shown to the left and with an active mass of 2.6 kg.



Experiments

Низкотемпературные болометры

Детектирование с помощью низкотемпературных болометров



NTD - neutron transmutation doping $\sim 150 \text{ нВ/кэВ}$

Теплоёмкость диэлектрика определяется согласно закону Дебая:

$$C = I_D \left(\frac{T}{\Theta_D} \right)^3,$$

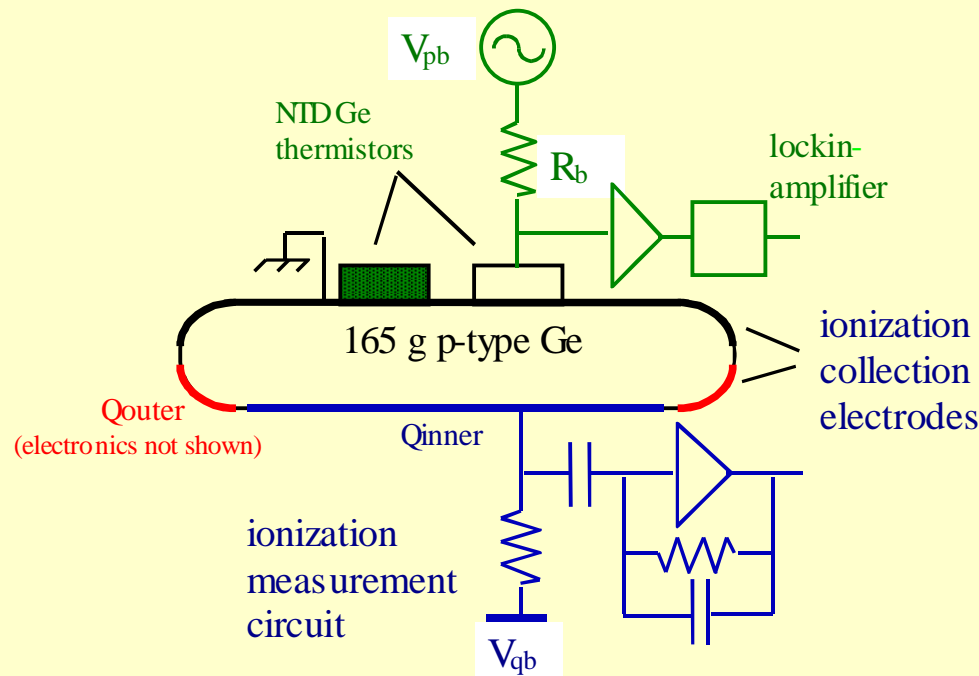
где $I_D = 1944 \text{ Дж/моль/К}$,
 T – температура (К),
 Q_D – температура Дебая.

Для Ge, например,
 Q_D равна 374К.
При $T \sim 20 \text{ мК}$
 $C_{Ge} \sim 20 \text{ кэВ/моль/мкК}$.

Коллаборация по поиску Тёмной Материи CDMS – Cryogenic Dark Matter Search

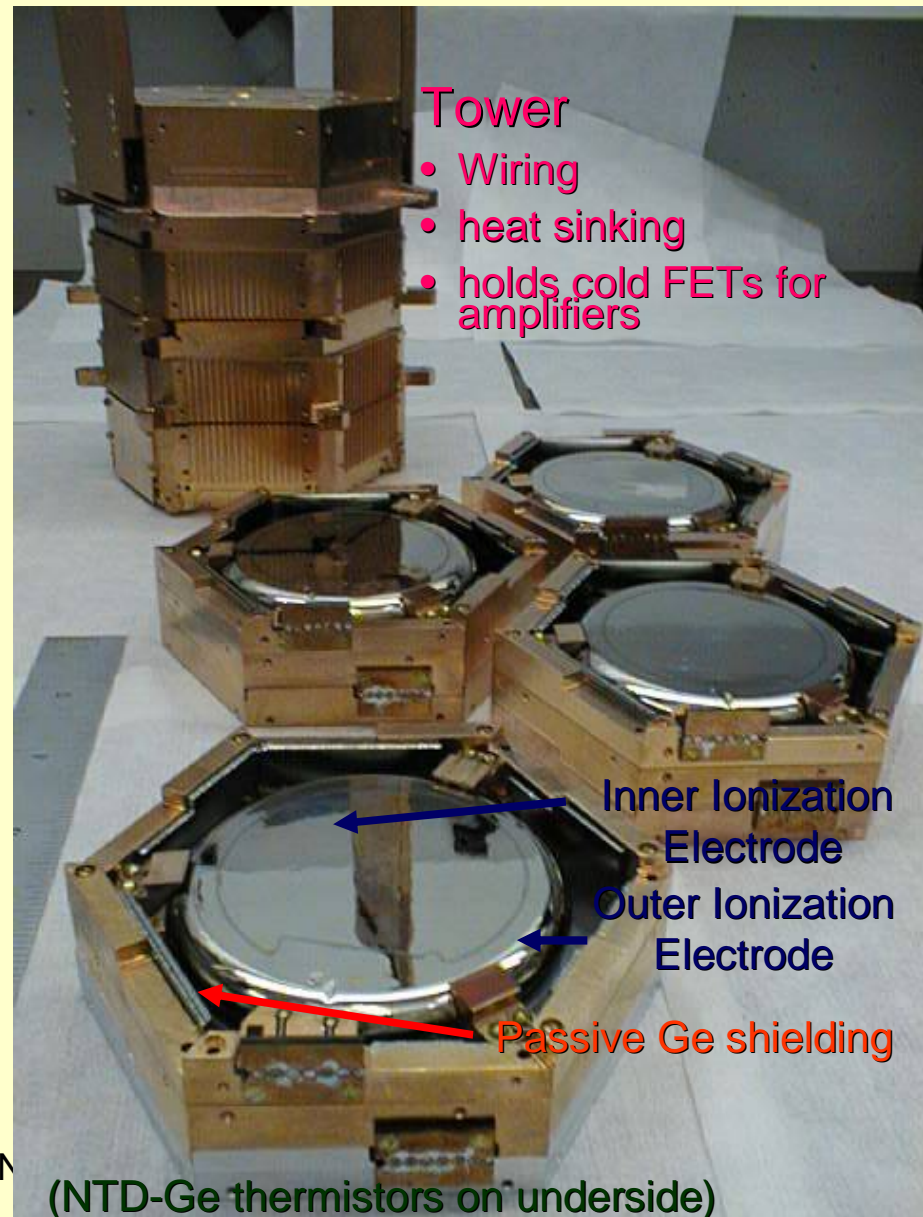
Ge BLIP Detectors

Berkeley Large Ionization-
and Phonon-mediated Detectors



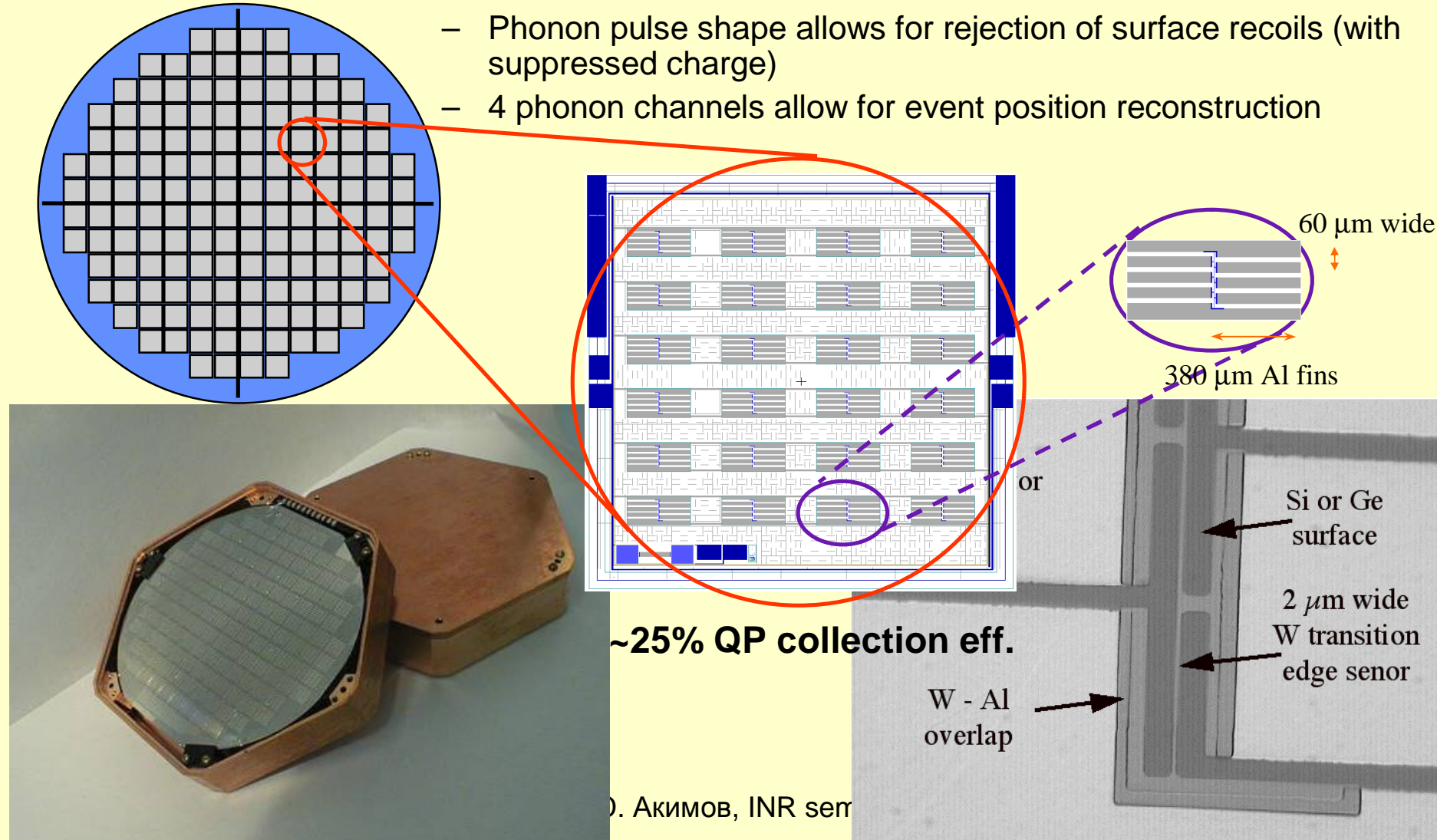
11.04.2011

Д.Ю. Акимов, ИМ

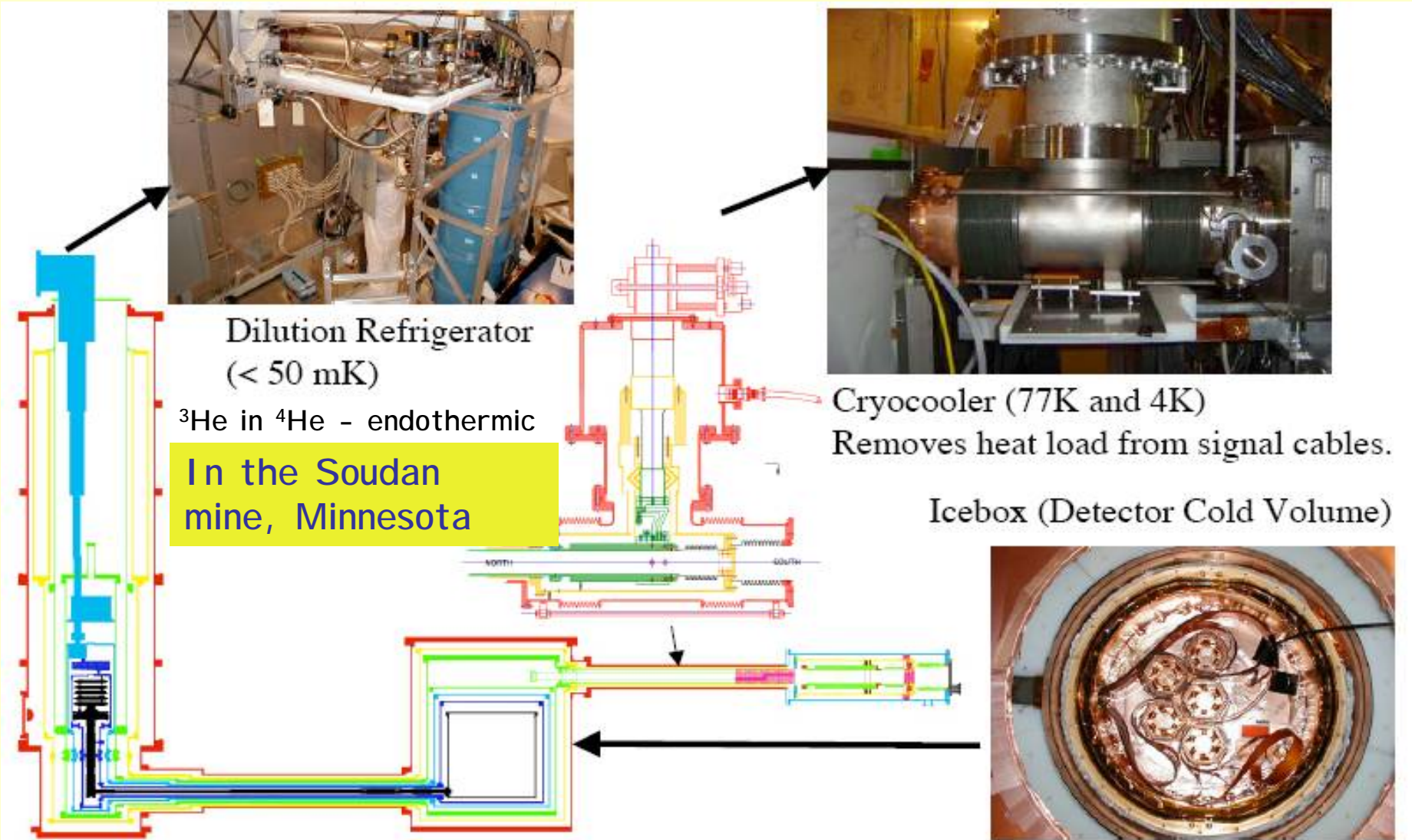


ZIP detector phonon sensor technology

- TES's patterned on the surface measure the full recoil energy of the interaction
- Phonon pulse shape allows for rejection of surface recoils (with suppressed charge)
- 4 phonon channels allow for event position reconstruction



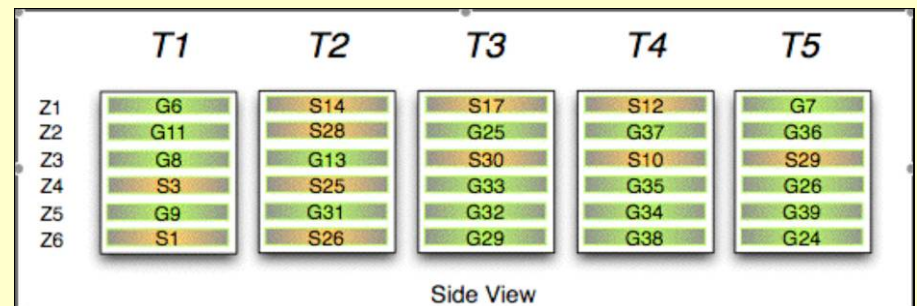
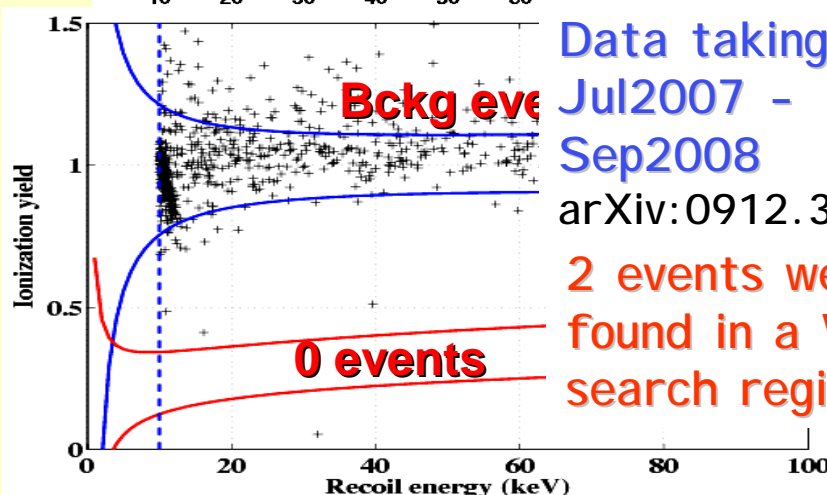
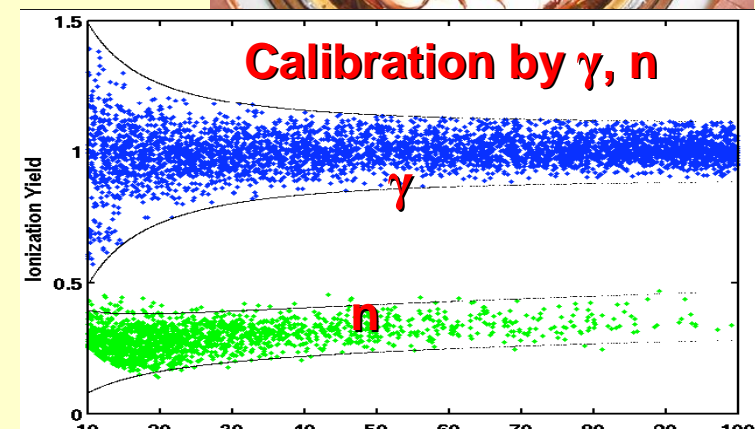
Experiments: CDMS



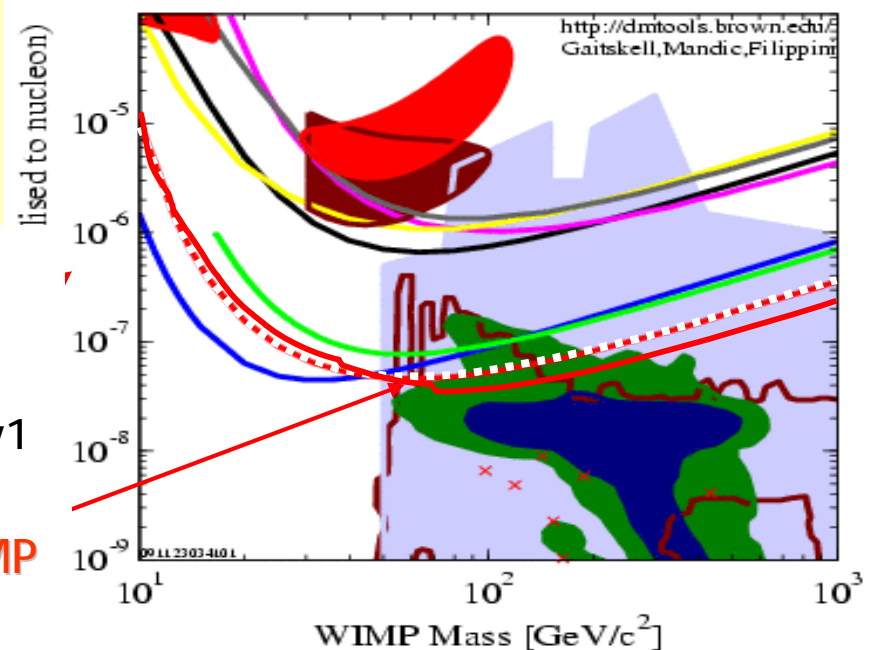
Experiments: CDMS

4.75 kg Ge,
1.1 kg Si

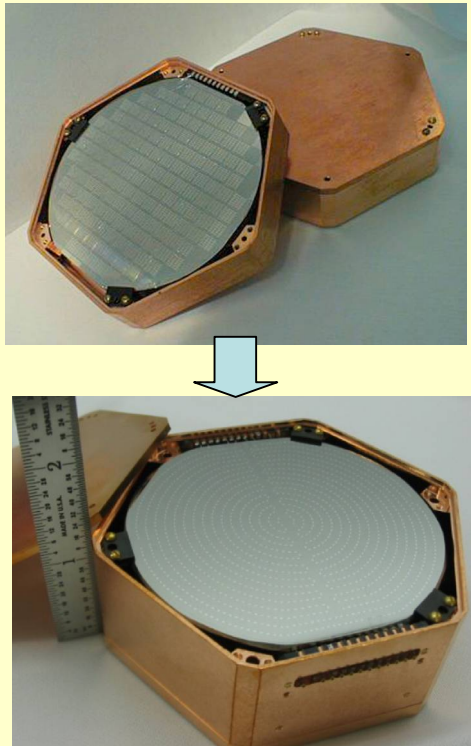
Data taking
Oct2006 - Jul2007
arXiv:0802.3530v2



DATA listed top to bottom on plot
 DAMA/LIBRA 2008 3sigma, no ion channeling
 Edelweiss final limit, 62 kg-days Ge 2000+2002+2003 limit
 DAMA 2000 58k kg-days Nal Ann. Mod. 3sigma w/DAMA 1996
 ZEPLIN I (2005)
 WARP 2.3L, 96.5 kg-days 55 keV threshold
 ZEPLIN II (Jan 2007) result
 ZEPLIN III (Dec 2008) result
 CDMS: 2004+2005 (reanalysis) + 2008 Ge
 XENON10 2007 (Net 136 kg-d)
 Trotta et al 2008, CMSSM Bayesian: 68% contour
 Trotta et al 2008, CMSSM Bayesian: 95% contour
 Baltz et al Theory region post-LEP benchmark points
 Baltz and Gondolo 2003
 Baltz and Gondolo 2004, Markov Chain Monte Carlo
 0811.2306 36.00



Experiments: SuperCDMS



Элемент детектора

SuperCDMS

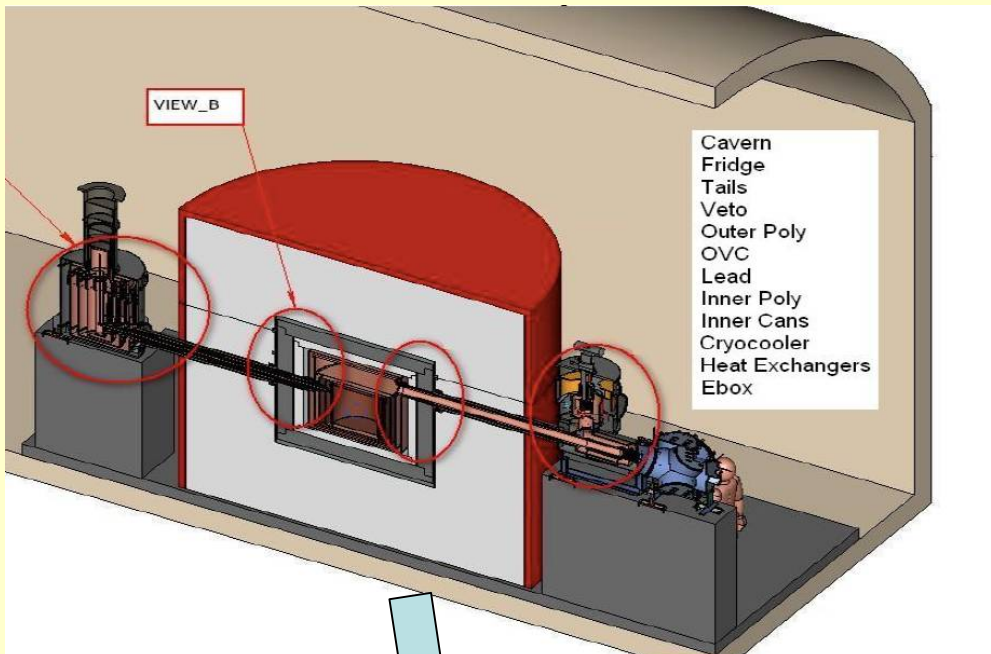
Ge : диам.76 мм, толщ.

25 мм, вес 607 г.

SuperCDMS в Soudan
 $15 \text{ кг} - 5 \times 10^{-9} \text{ пб}$

SuperCDMS в SNOLAB

$150 \text{ кг} - 3 \times 10^{-10} \text{ пб}$

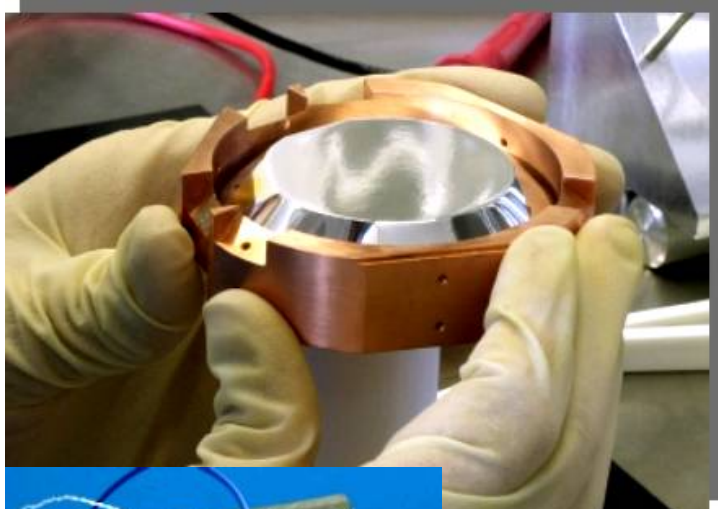


GEODM в DUSEL
 $1.5 \text{ т} - 2 \times 10^{-11} \text{ пб}$



Эксперимент EDELWEISS

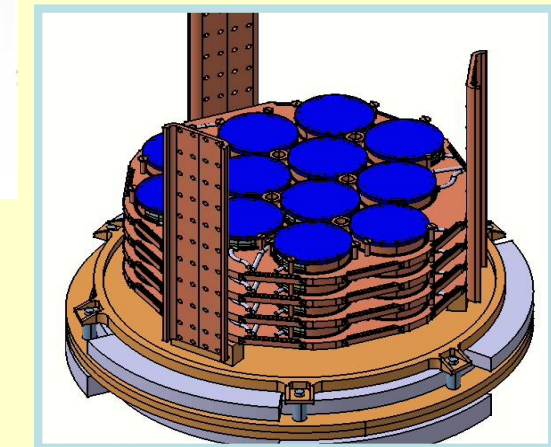
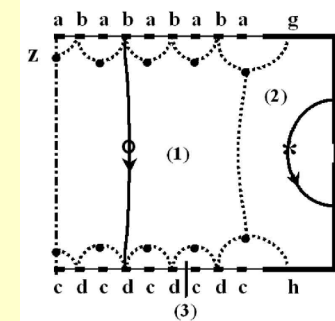
Laboratoire Souterrain de Modane (LSM)



320 grams



410 grams



- heat and ionisation Ge detector
- aluminium interlaying electrodes
- NTD sensor on guard ring electrode

Resolutions @ 10 keV

- ionisation : 1.3 keV
- heat : 1.0 keV

@ 122 keV)

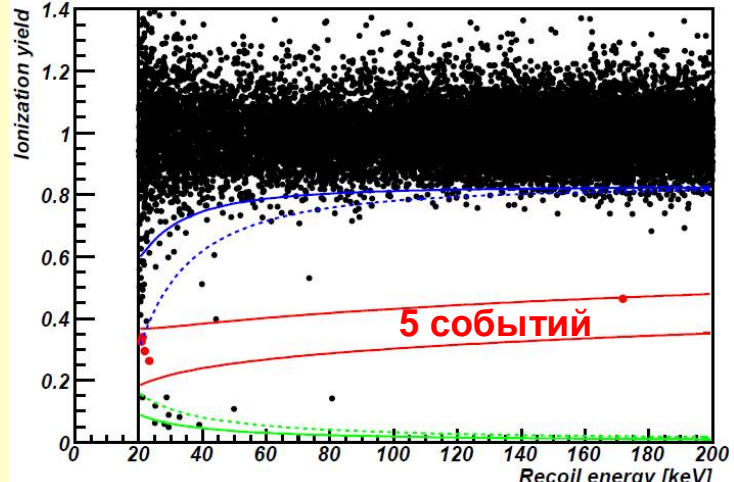
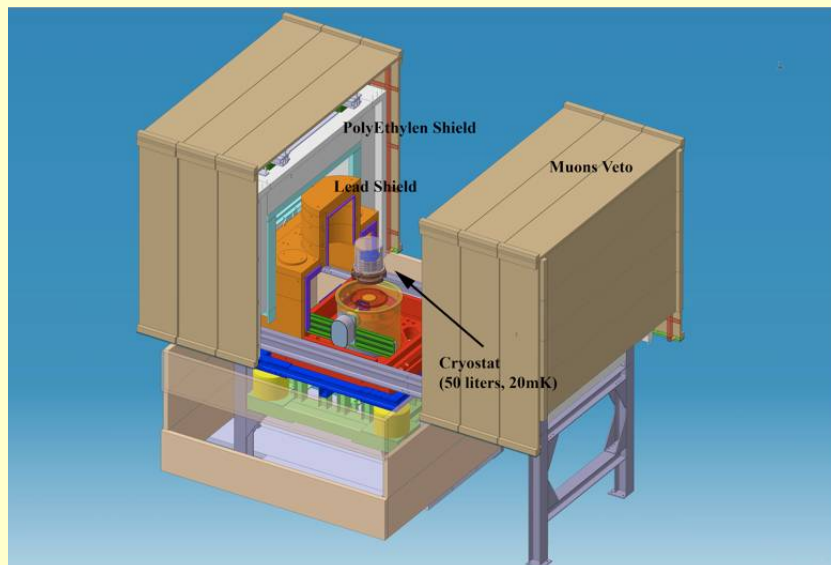
- 2.2 keV
- 3.0 keV



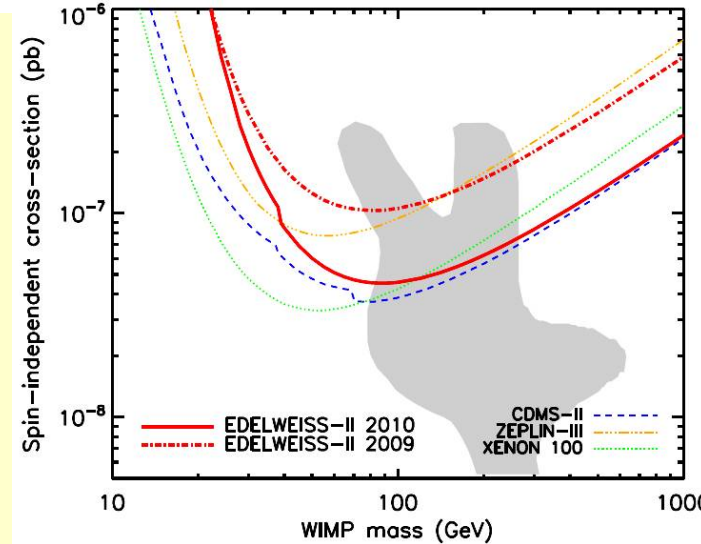
Эксперимент EDELWEISS

апрель 2009 по май 2010 384 кг сут

arXiv:1103.4070 [astro-ph.CO]



5 дет. 410 г
5 дет. 370 г



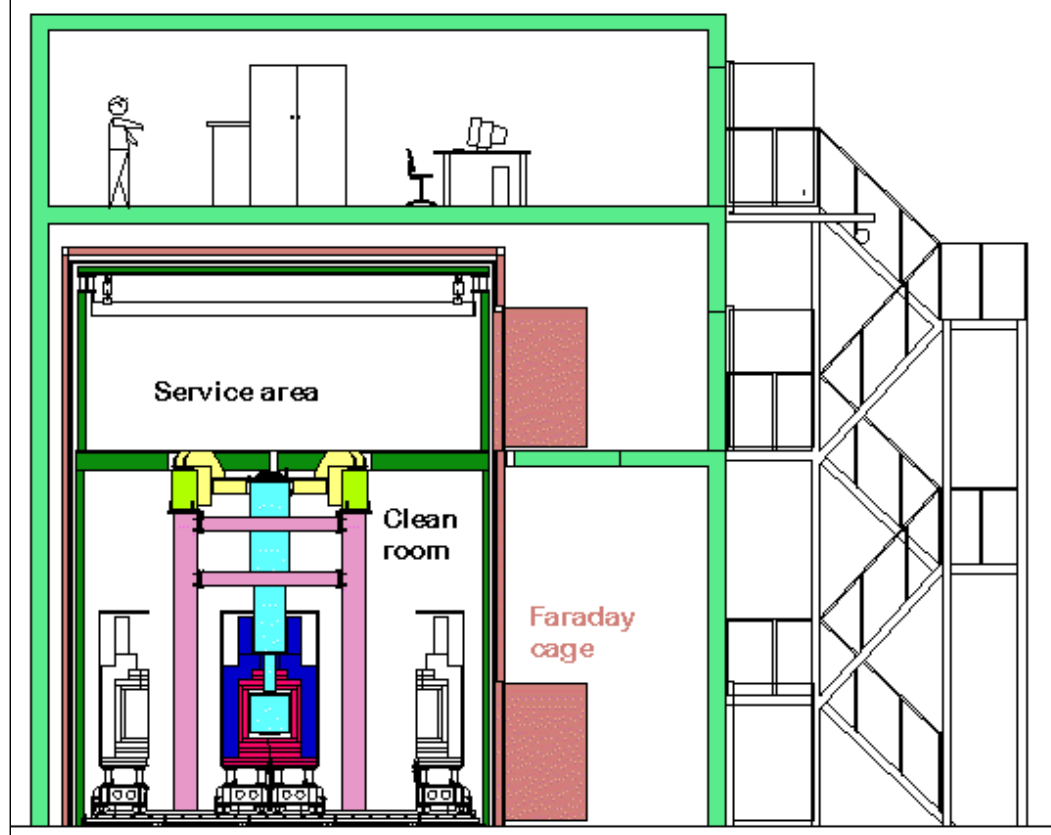
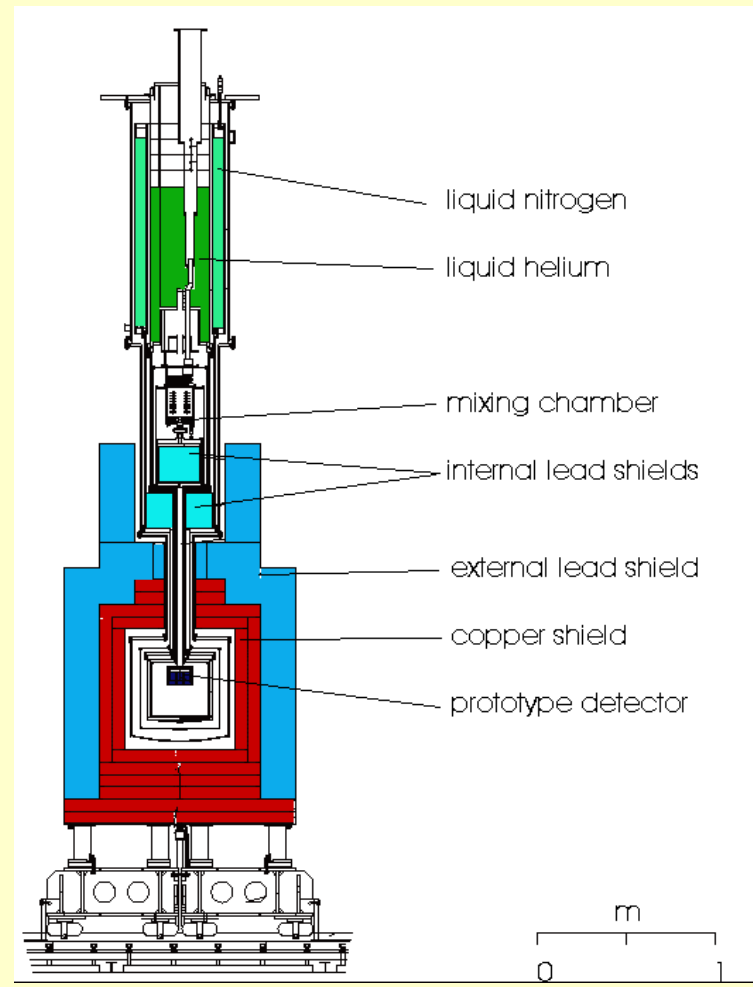
4.4×10^{-8} пб
для
 $M_W = 85$ ГэВ

след. этап – 40 кг; 10^{-9} пб

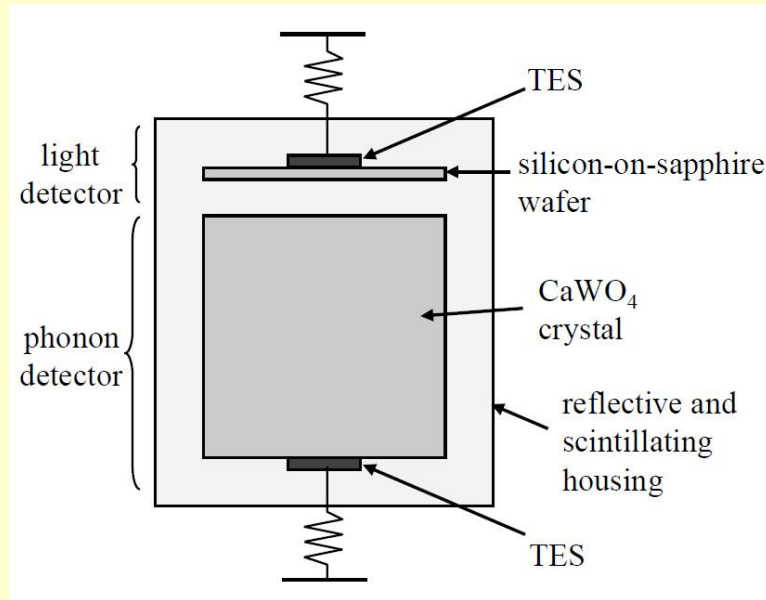
Эксперимент CRESST

**Cryogenic Rare Event Search with
Superconducting Thermometers**

- Laboratori Nazionali Gran Sasso
- Max-Planck-Institut für Physic
- Technische Universität München
- University of Oxford



CRESST-II



TES – Transition Edge Sensor

- Сеанс измерений начался в 2009, сейчас продолжается.
- Работают 10 детекторов общей массой 3 кг.
- Набранная экспозиция (после катов) ~ 700 кг сут.

NPPD 2011 4-7 April (Glasgow):

57 событий в области ядер отдачи, из которых 22.6 идентифицируются как сигнал на уровне 4.6σ

$$M_W \sim 13 \text{ ГэВ},$$

$$\sigma \sim 5 \cdot 10^{-3} \text{ пб}$$

EURECA



The EURECA Collaboration

CRESST, EDELWEISS, ROSEBUD + CERN, others

United Kingdom

Oxford (H Kraus, coordinator)

Germany

MPI für Physik, Munich

Technische Universität München

Universität Tübingen

Universität Karlsruhe

Forschungszentrum Karlsruhe

International

JINR Dubna

CERN

France

CEA/IRFU Saclay

CEA/IRAMIS Saclay

CNRS/Neel Grenoble

CNRS/CSNSM Orsay

CNRS/IPNL Lyon

CNRS/IAS Orsay

Spain

Zaragoza

Ukraine

Kiev

EURECA



Timeline:

2009/10: Design Study → TDR

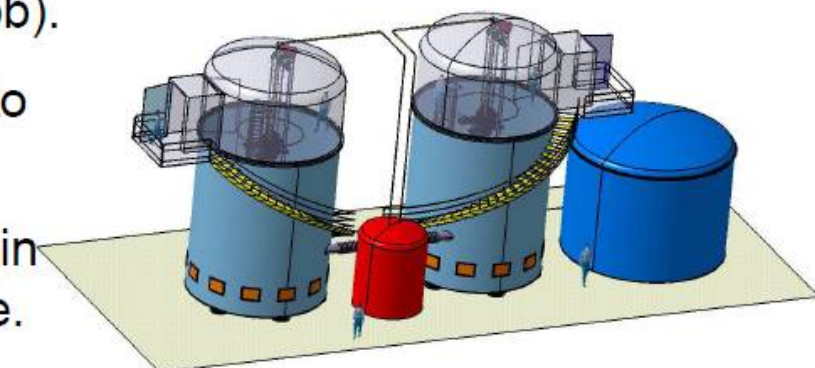
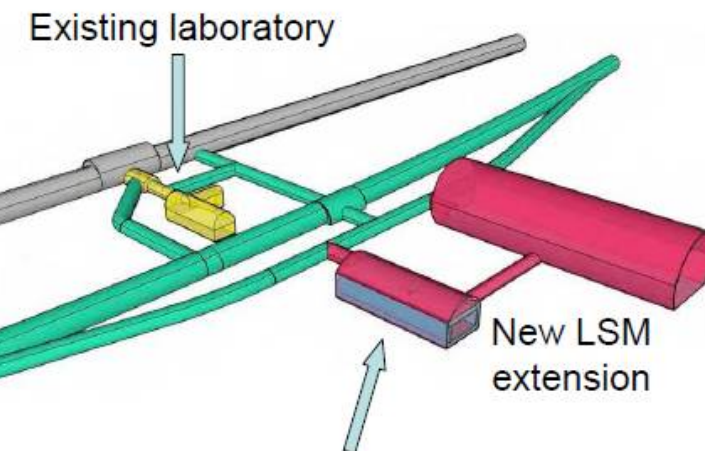
2011/12: Digging out of LSM extension begins. In parallel, begin construction of EURECA components away from LSM. Aim for $\sim 100\text{kg}$ stage (10^{-9} pb).

2014: LSM extension ready to receive EURECA.

2015: Begin data taking and in parallel improve and upgrade.

2018: One tonne target installed.

EURECA in LSM

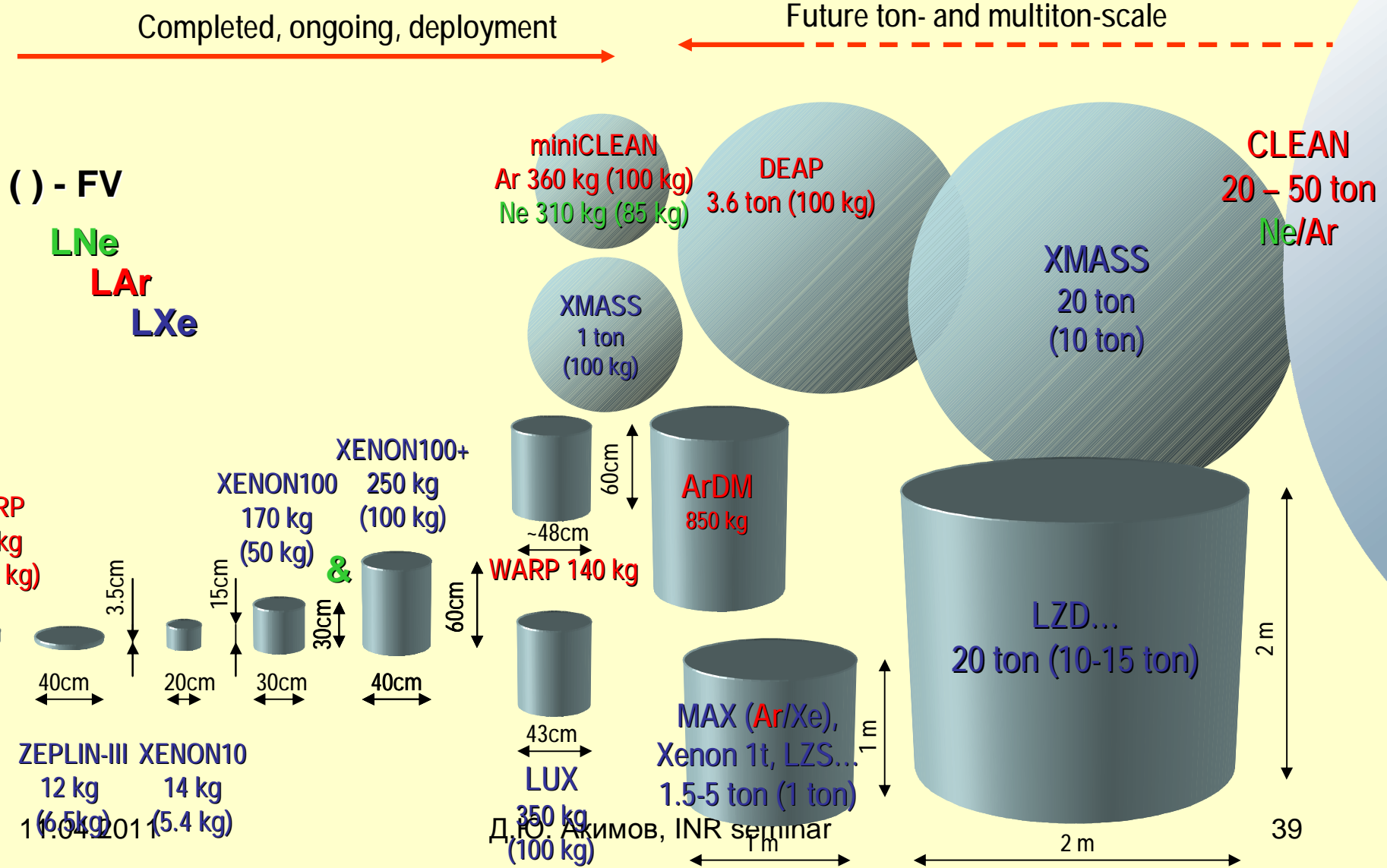


Possible EURECA Facility Layout

Experiments

Детекторы на жидких благородных газах

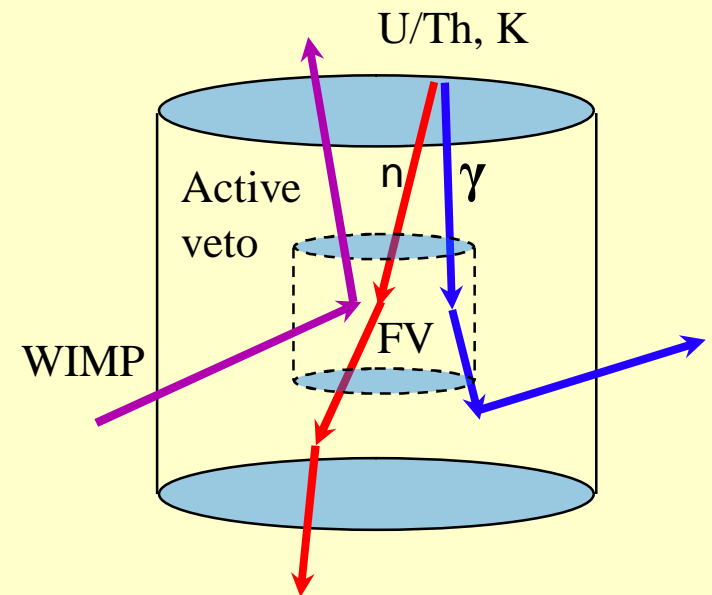
Family of noble-liquid DM detectors



Experiments: Liquid noble-gas detectors

Liquid noble gases are increasingly used as a detection medium for WIMPs

- very low contamination by U/Th, K (can be easily purified by filtering)
- possibility of discrimination by simultaneous measurements of scintillation and ionization signals in a two-phase mode
- possibility to build large and even very large (ton-scale) detectors
- 3D position sensitivity => “WALL-LESS” detector!!!

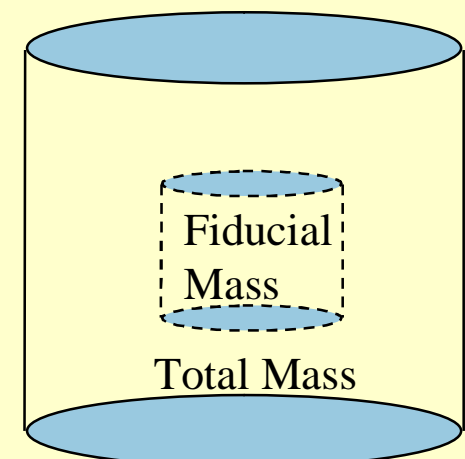
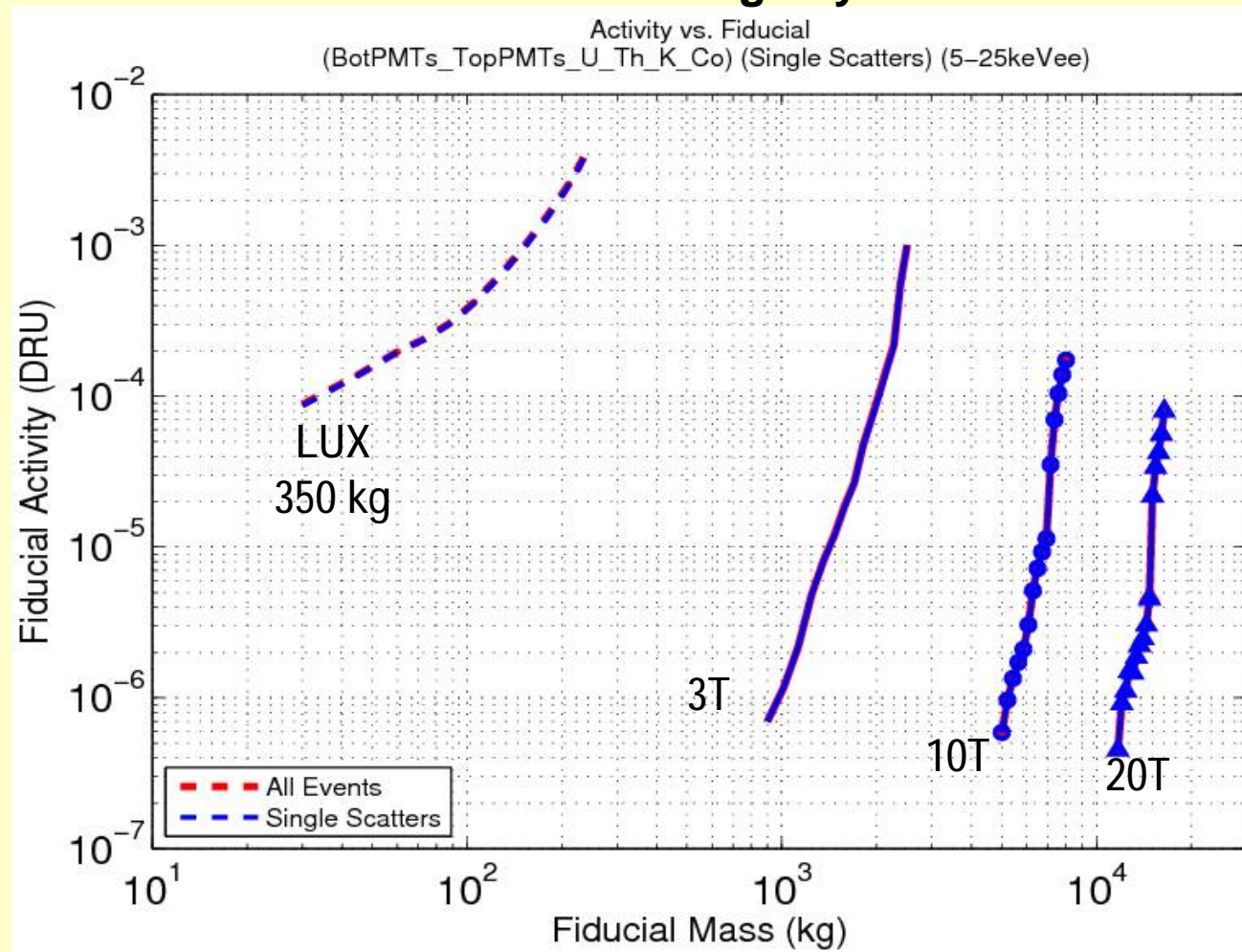


LAr, LXe: at the same mass LXe detectors have by an order of magnitude higher sensitivity:

$S_{SI} \sim A^2$, higher density and Z => better self-shielding
But to use different targets is very important!

Experiments: Liquid noble-gas detectors

Example of self-shielding effect. *Simulation by LUX*
Single scatter events from PMTs gammas
DRU – event/keV/kg/day

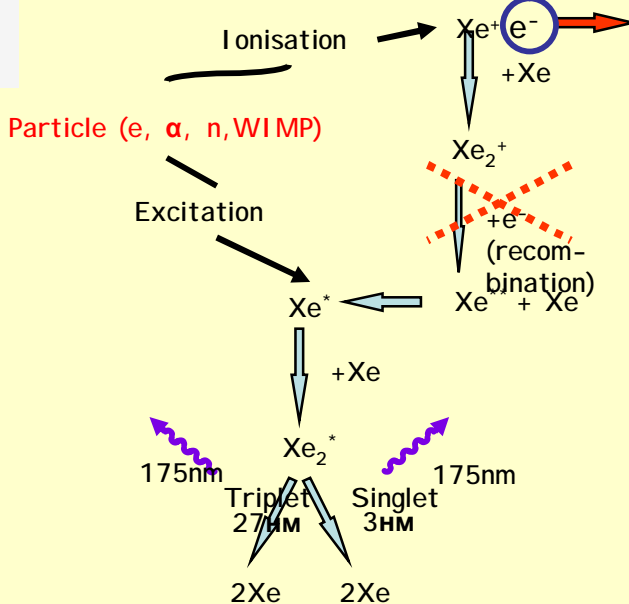
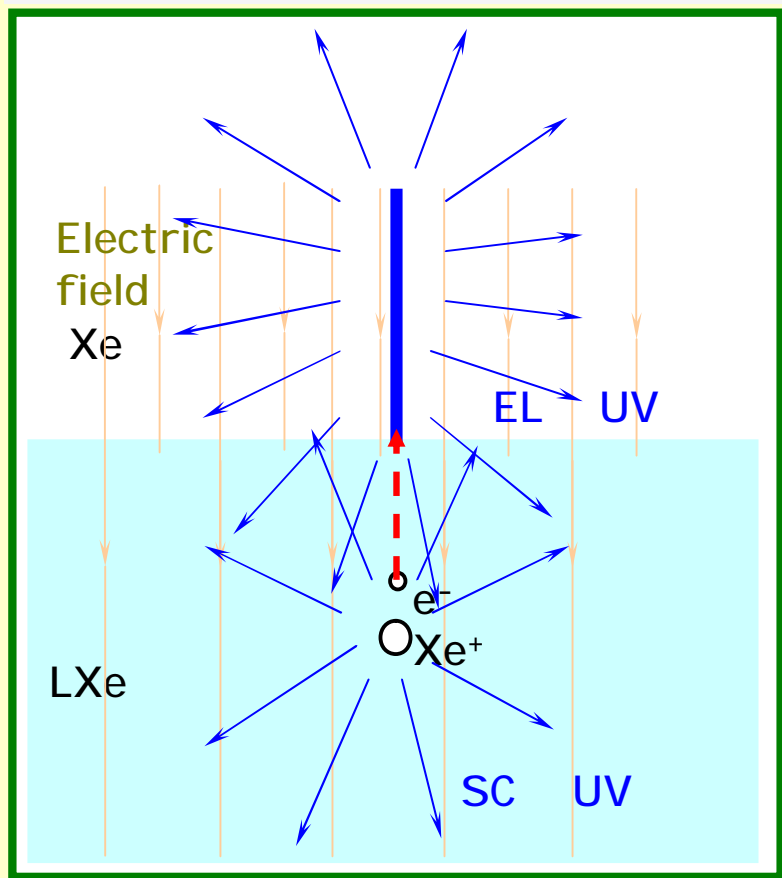


Experiments: LXe detectors

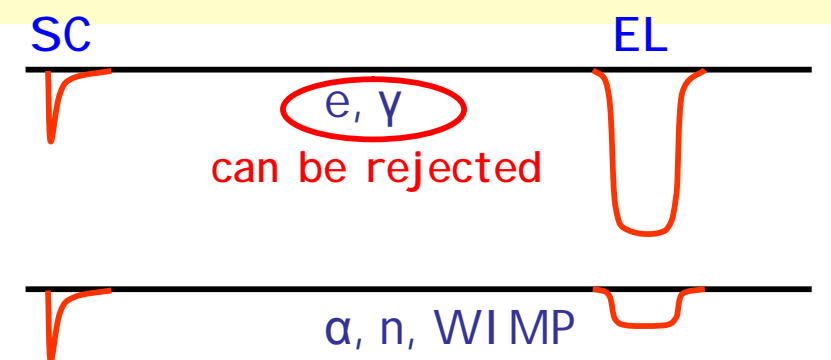
Discrimination of particles in a two-phase detector (Xe)

B.A. Dolgoshein, V.N. Lebedenko, B.U. Rodionov,
JETF Letters (in Russian), 1970, v. 11, p. 513

For the Dark Matter search:
A.S. Barabash and A.I. Bolozdynya, JETF
Letters (in Russian), 1989, v.49, p. 359



Electrons are partly extracted from the track:
recombination is suppressed
Suppression depends on dE/dX
Ratio of SC/EL is different for different kind of particles



Experiments: Xenon collaboration

Xenon collaboration



Columbia University



Universität Zürich



Brown University



University of Coimbra



CWRU



Livermore National Laboratory



Rice University



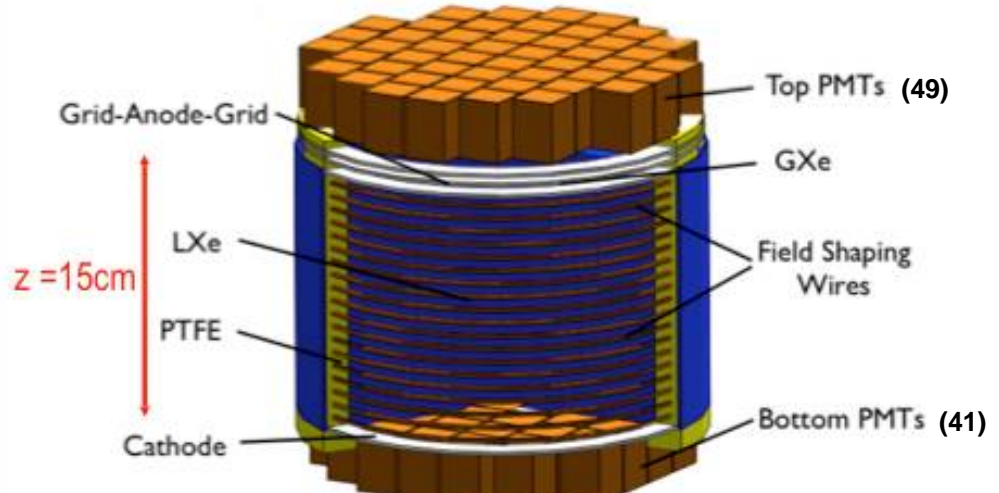
Yale University



Nazionali del Gran Sasso

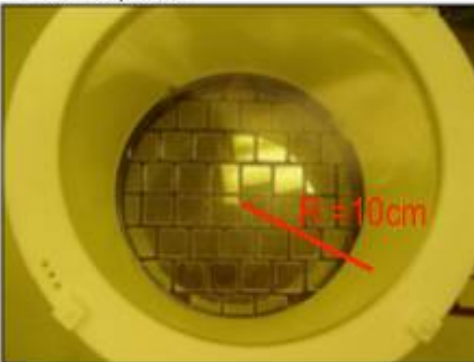
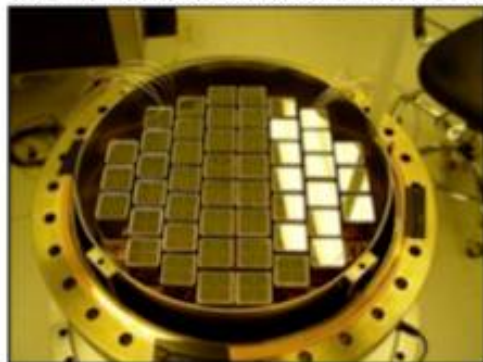
Xenon10 - Gran Sasso

Experiments: Xenon10



3.0 pe/keV at 122 keV gammas

89 PMTs: Hamamatsu R8520-AL 2.5 cm square



diam. ~ 20 cm; drift gap = 15 cm
LXe - 25 kg (15 kg active)

Low Radioactive PMTs:

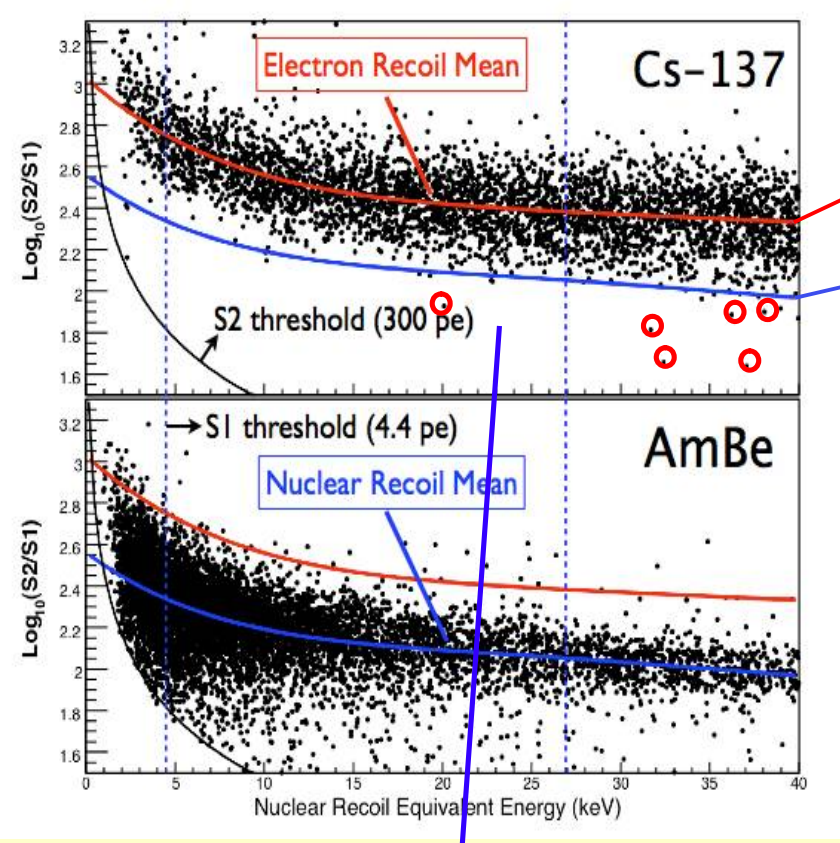
U	-	0.17 ± 0.04 mBq/PMT
Th	-	0.20 ± 0.09 mBq/PMT
K	-	10 ± 1 mBq/PMT
Co	-	0.56 ± 0.05 mBq/PMT



Experiments: Xenon10

E. Aprile TAUP2007:

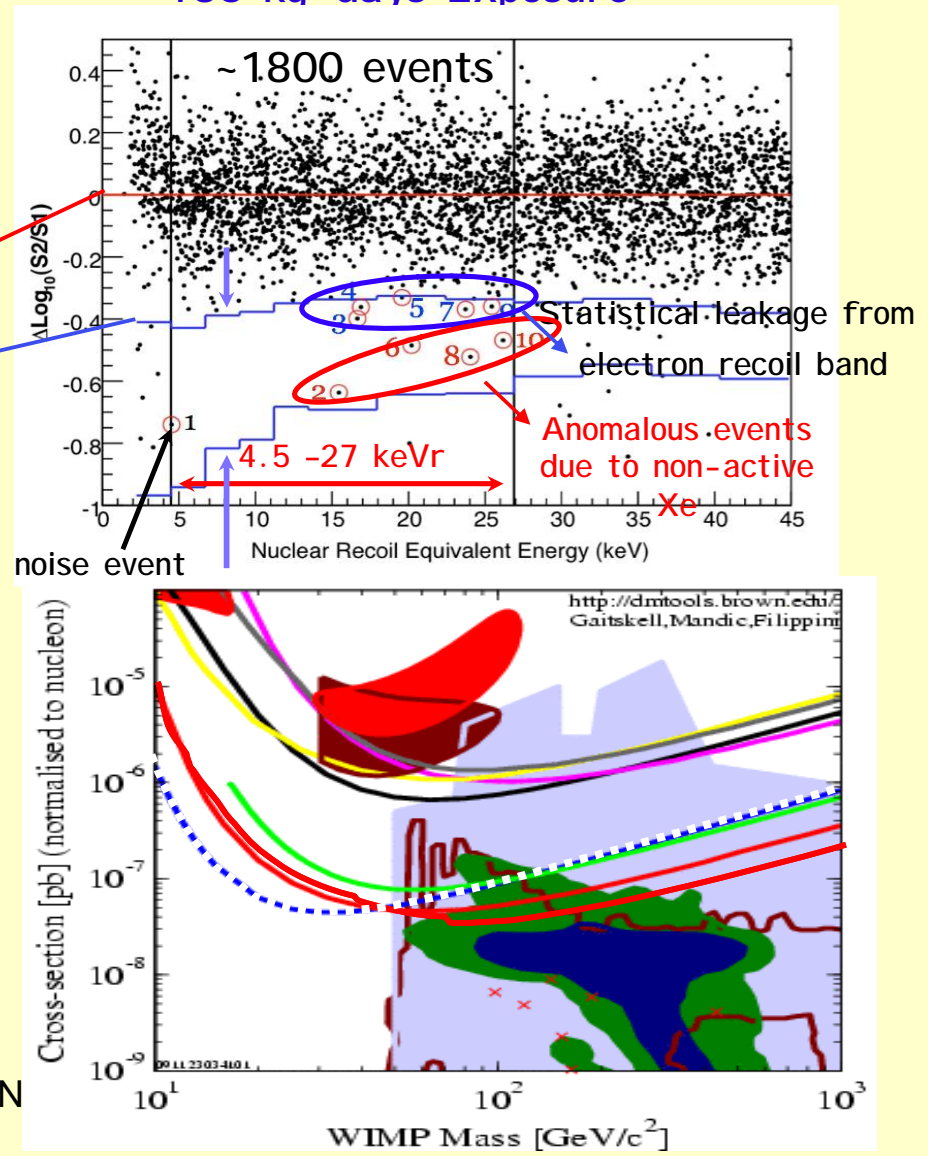
Gamma/Neutron calibration



~ 99.5 % gamma events
are rejected below
nuclear recoil mean

11.04.2011 Д.Ю. Акимов, IN

Blind Analysis
136 kq-days Exposure

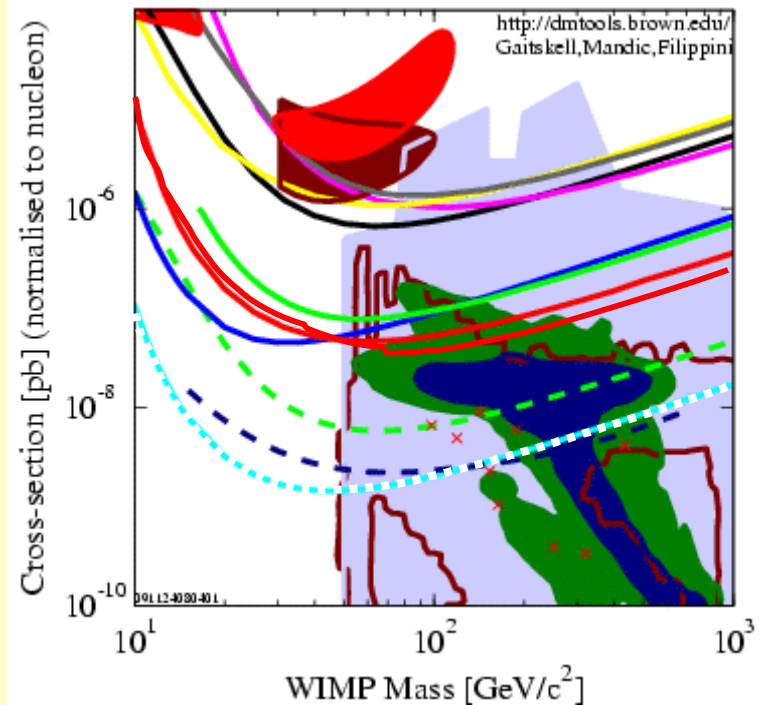
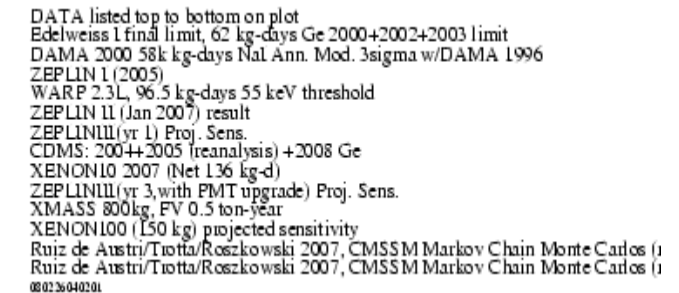


Experiments: Xenon100

Scaled-up Xenon10 detector



150 kg total (70 kg in target)
started data taking in mid Jan 2010



Experiments: ZEPLIN

ZEPLIN (UKDMC) collaboration

ZEPLIN I (single phase)

 CCLRC Rutherford Appleton Laboratory

 Imperial College London

 University of Sheffield

 University of London Queen Mary

ZEPLIN II (two-phase)

 CCLRC Rutherford Appleton Laboratory

 Imperial College London

 University of Sheffield

 University of Oxford

 University of Edinburgh

 University of California (UCLA)

 Texas A&M University

 University of Rochester

 LIP- Coimbra (Coimbra Univ.)

 INFN Pisa

ZEPLIN III (two-phase)

 CCLRC Rutherford Appleton Laboratory

 Imperial College London

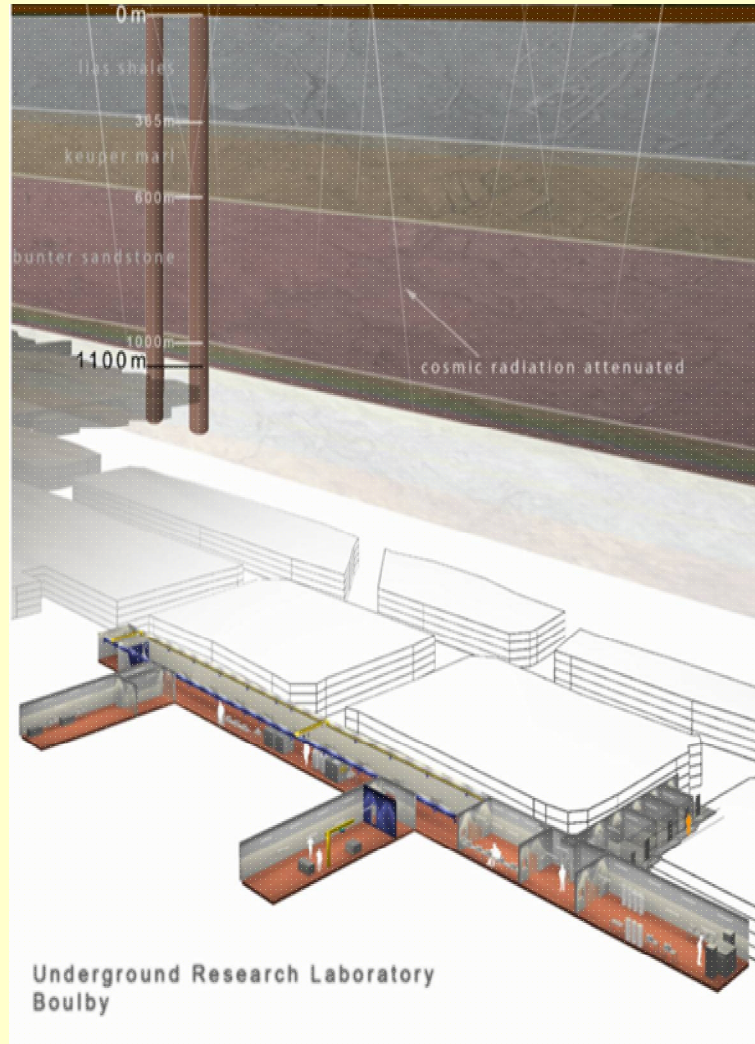
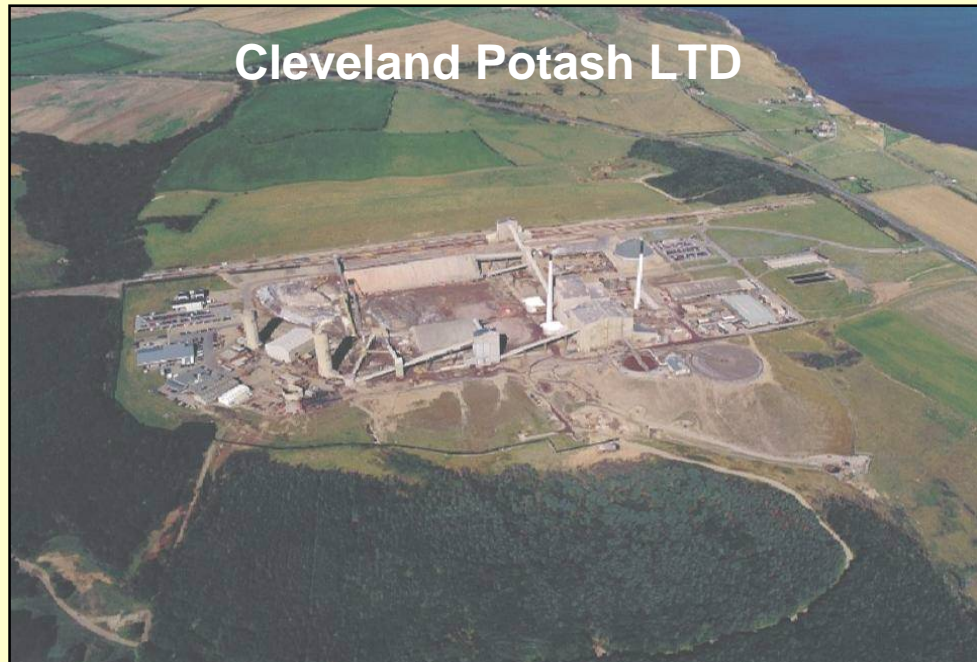
 University of Edinburgh

 LIP- Coimbra (Coimbra Univ.)

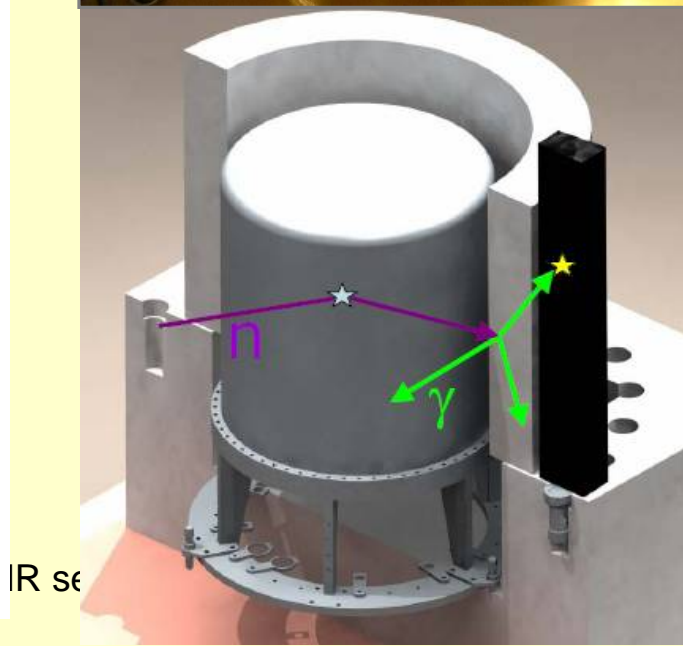
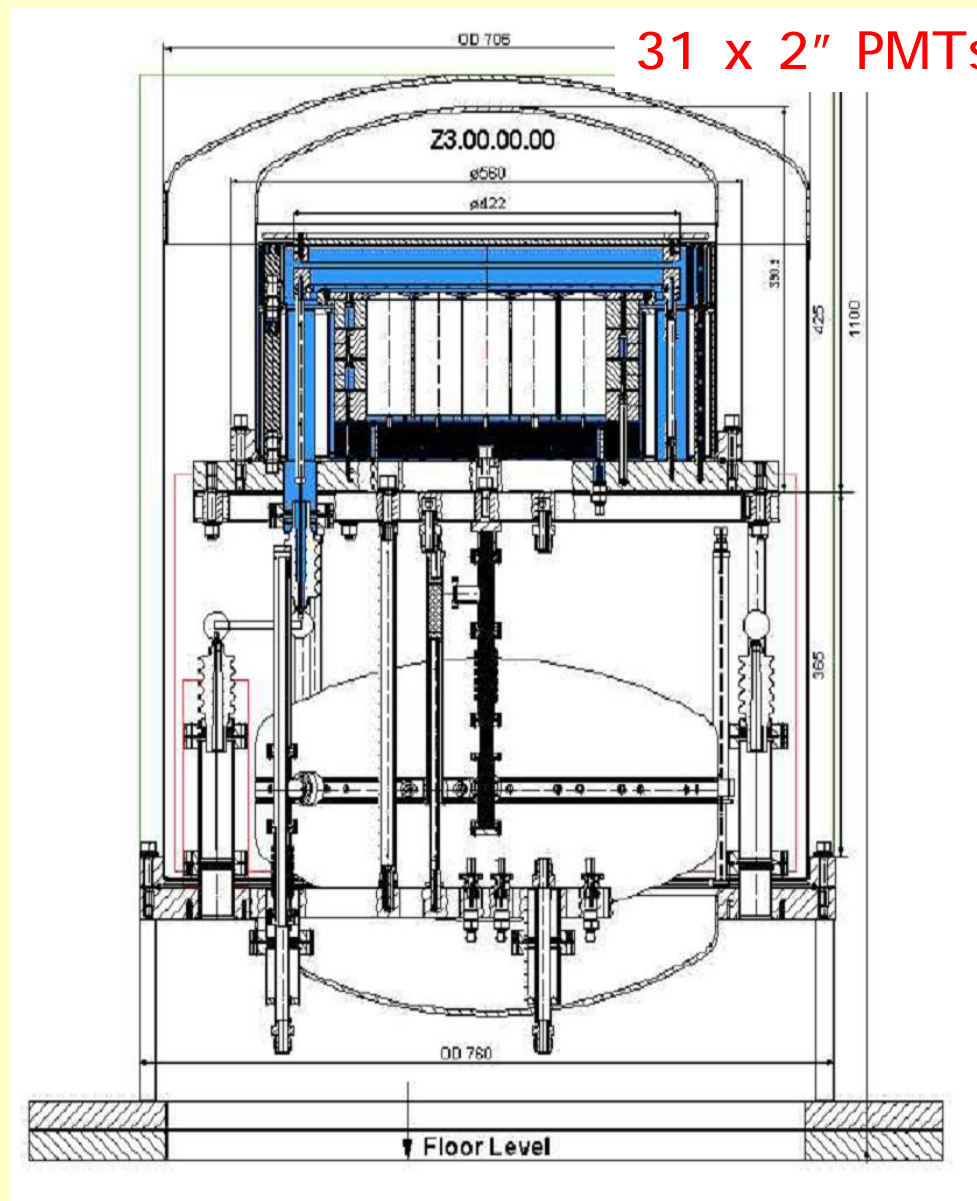
 ITEP

Experiments: ZEPLIN

Boulby, U.K. site ('Palmer lab')
1100m, 2.8km water equiv.
 10^6 reduction in muon flux



Experiments: ZEPLIN III



Experiments: ZEPLIN III

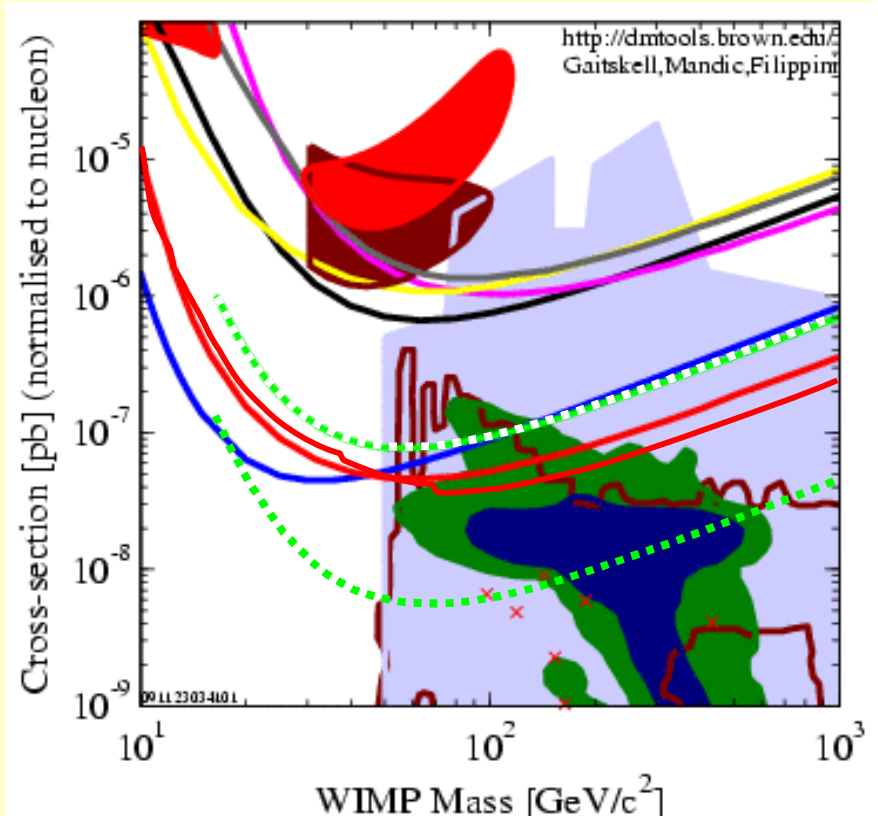
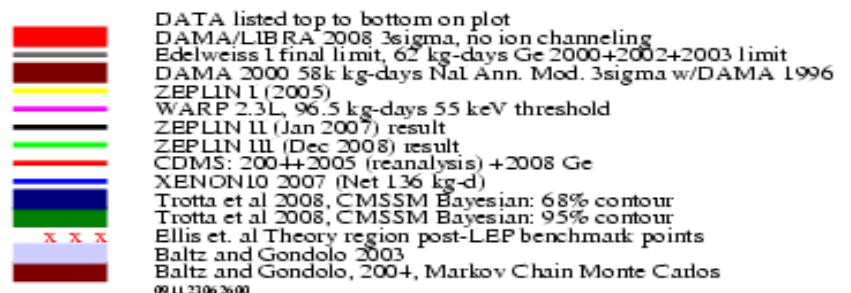


Phase 1
Completed
453.6 kg days
 $\approx 8.1 \times 10^{-8}$ pb
astro-
ph:0812.1150



Phase 2
Upgrade completed:
• 30 times less radioactive PMTs
• Active neutron Veto

Collect 1 year of data
 $\approx 5.6 \times 10^{-9}$ pb





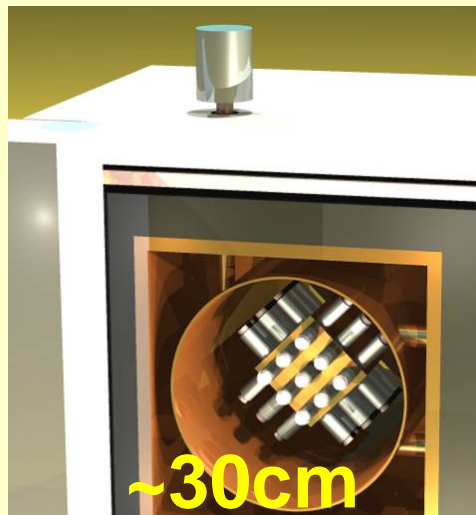
Experiments: XMASS

XMASS – multipurpose detector

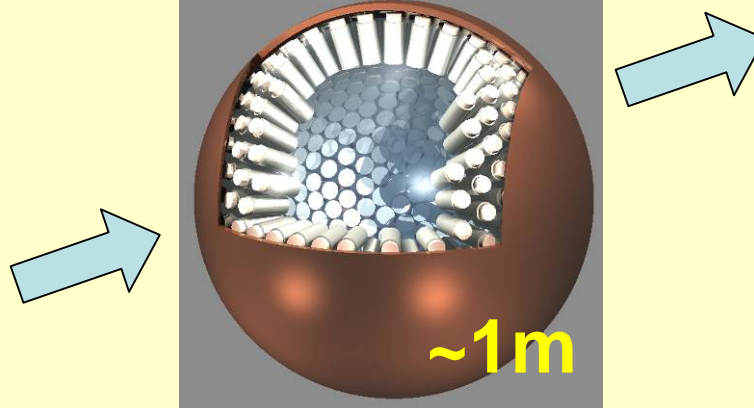
Xenon MASSive detector for Solar neutrino ($\text{pp}/^7\text{Be}$)

Xenon neutrino MASS detector (double beta decay)

Xenon detector for Weakly Interacting MASSive Particles (DM search)



Prototype detector
(FV 3kg) R&D



~1 ton detector
(FV 100kg)
Dark matter search



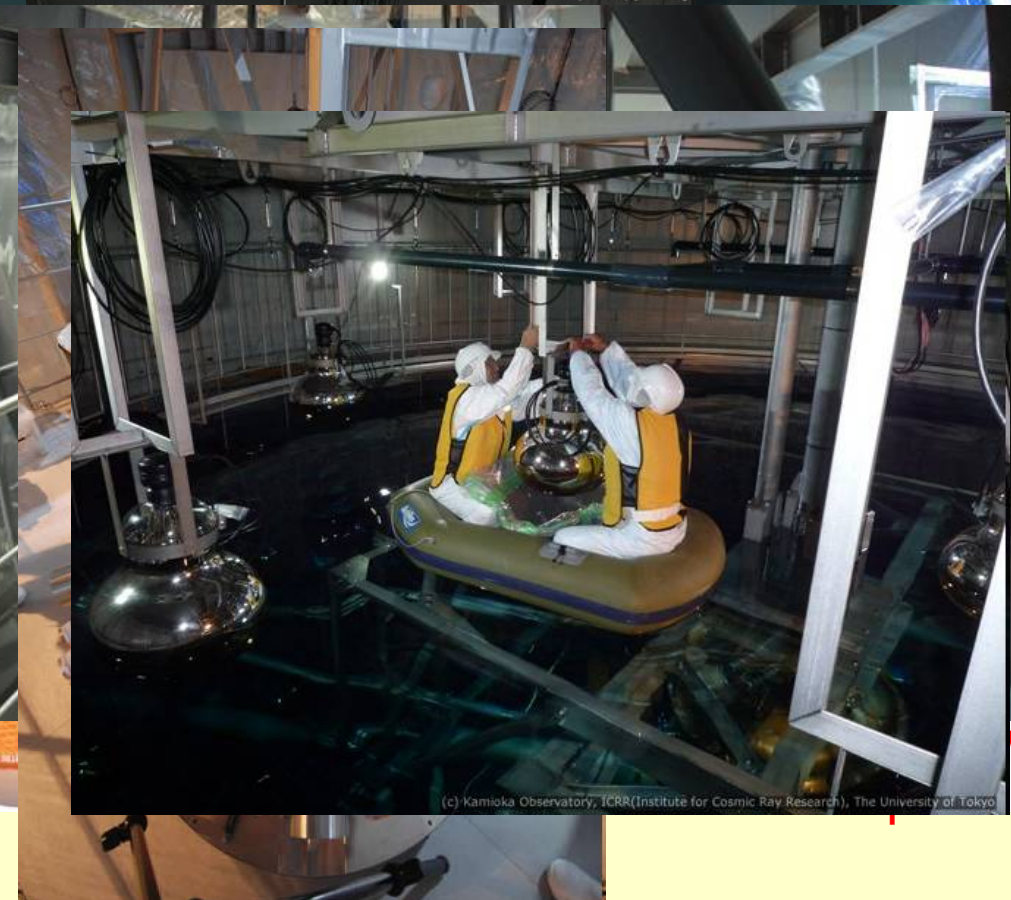
~20 ton detector
(FV 10ton)
Solar neutrinos
Dark matter search

Confirmation of feasibilities of the ~1ton
detector

Experiments: XMASS

Assembling of XMASS can be tracked:

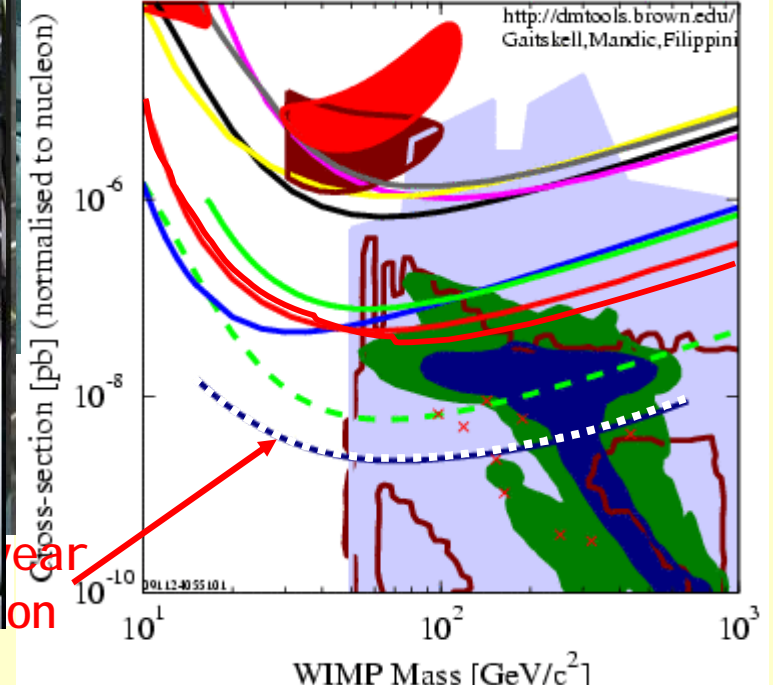
<http://www-sk.icrr.u-tokyo.ac.jp/xmass/status-e.html>



11.04.2011

Д.Ю. Акимов, INR seminar

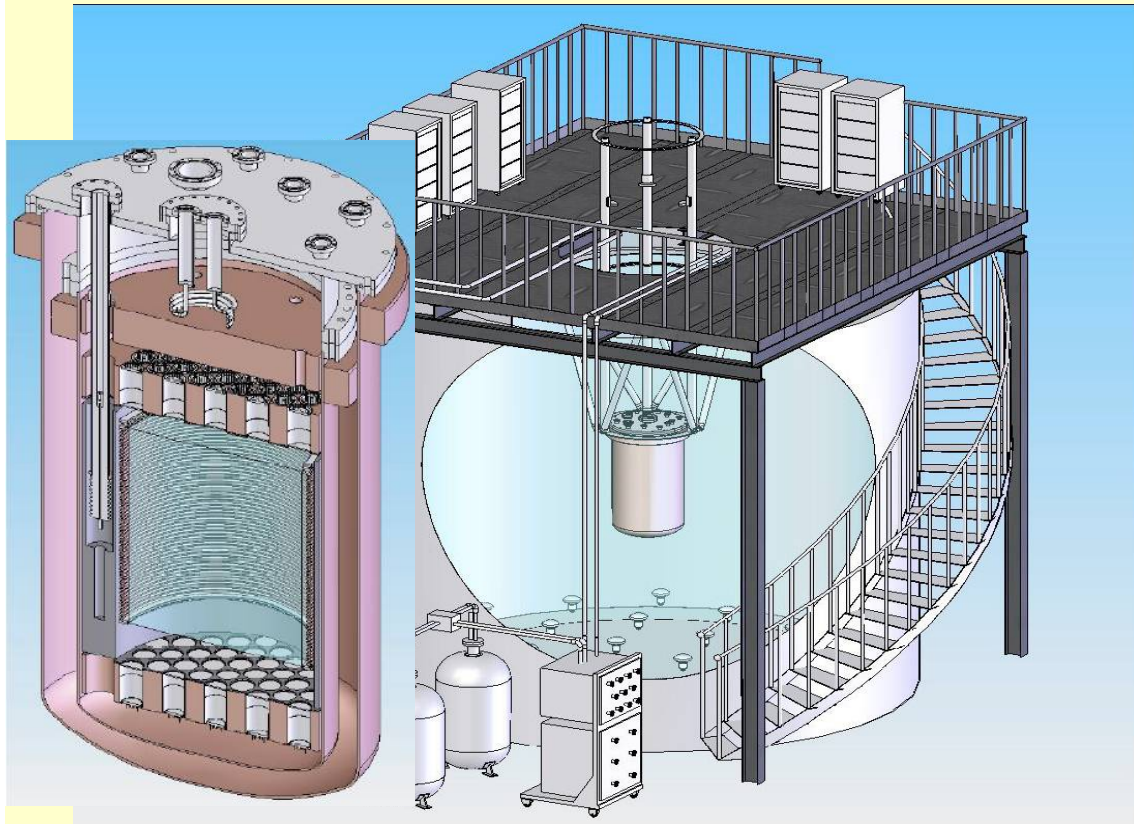
DATA listed top to bottom on plot
DAMA/LIBRA 2008 3sigma, no ion channeling
Bdweiss I final limit, 62 kg-days Ge 2000+2002+2003 limit
DAMA 2000 58k kg-days Nal Ann. Mod. 3sigma w/DAMA 1996
ZEPLIN I (2005)
WARP 2.3L, 96.5 kg-days 55 keV threshold
ZEPLIN II (Jan 2007) result
ZEPLIN III (Dec 2008) result
CDMS: 2004+2005 (reanalysis) + 2008 Ge
XENON10 2007 (Net 136 kg-d)
ZEPLINIII(yr 3, with PMT upgrade) Proj. Sens.
XMASS 800kg, FV 0.5 ton-year
Trotta et al 2008, CMSSM Bayesian: 68% contour
Trotta et al 2008, CMSSM Bayesian: 95% contour
Ellis et. al Theory region post-LEP benchmark points
Baltz and Gondolo 2003
Baltz and Gondolo, 2004, Markov Chain Monte Carlos
09.LL.3405 SL01



52

Future experiments: LUX

Large Underground Xenon detector SUSEL - at Homestake; South Dakota

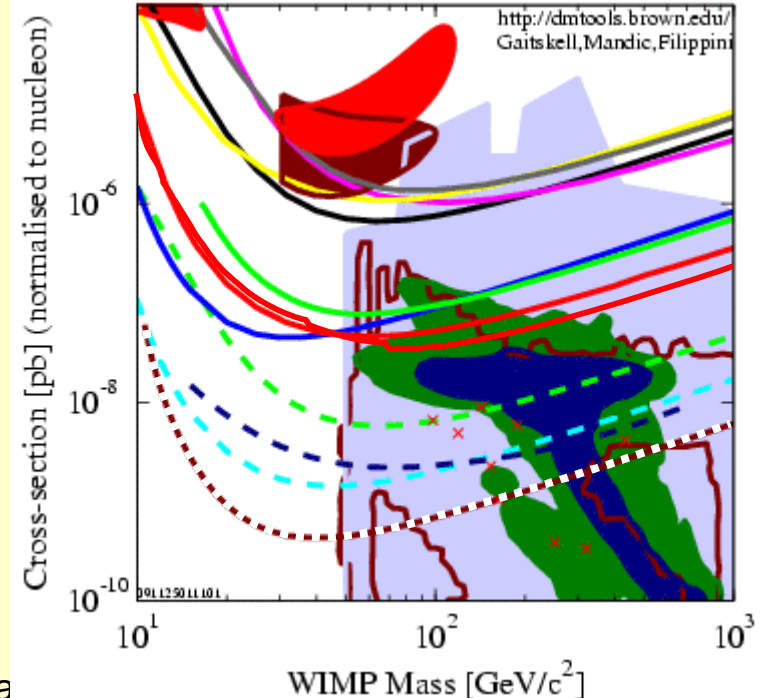


350 kg total (150 kg in target)
Large water shield Cherenkov readout -
muon veto, **10-month exposition**

11.04.2011

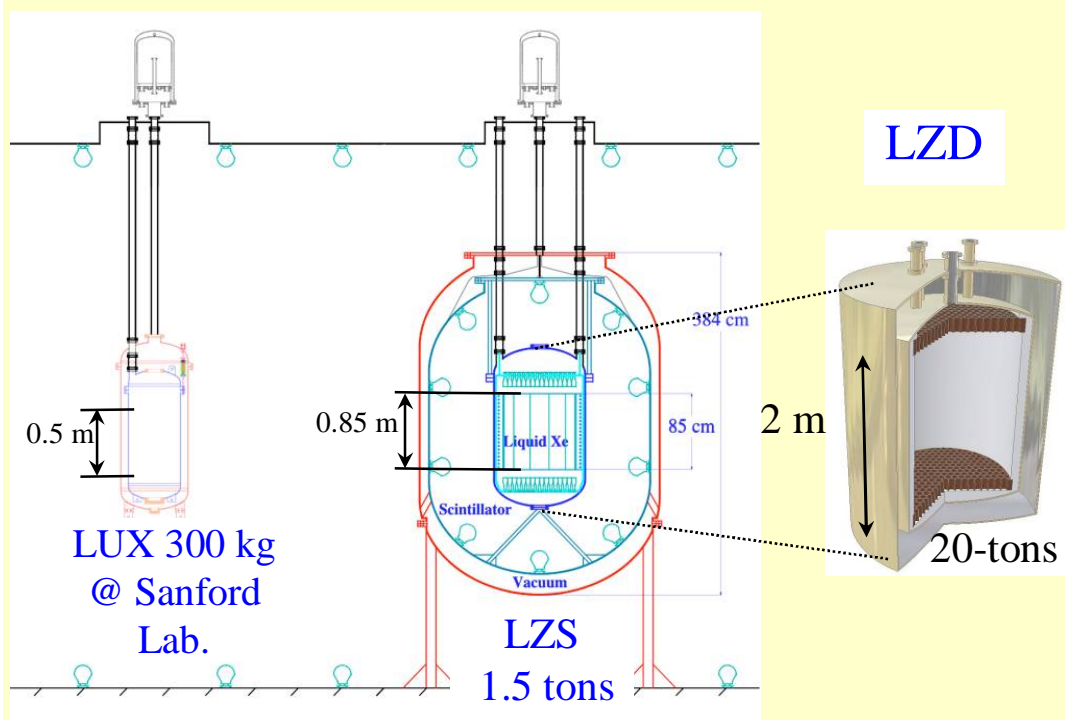
Д.Ю. Акимов, INR semina

DATA listed top to bottom on plot
DAMA/LIBRA 2008 3sigma, no ion channeling
Edelweiss I final limit, 62 kg-days Ge 2000+2002+2003 limit
DAMA 2000 58k kg-days NaI Ann. Mod. 3sigma w/DAMA 1996
ZEPLIN I (2005)
WARP 2.3L, 96.5 kg-days 55 keV threshold
ZEPLIN II (Jan 2007) result
ZEPLIN III (Dec 2008) result
CDMS: 2004+2005 (reanalysis) +2008 Ge
XENON10 2007 (Net 136 kg-d)
ZEPLINII (yr 3, with PMT upgrade) Proj. Sens.
XMASS 800kg, FV 0.5 ton-year
Trotta et al 2008, CMSSM Bayesian: 68% contour
Trotta et al 2008, CMSSM Bayesian: 95% contour
Ellis et. al Theory region post-LEP benchmark points
Baltz and Gondolo 2003
Baltz and Gondolo, 2004, Markov Chain Monte Carlo
09.LI.3405.S1.01



Projects: LZ

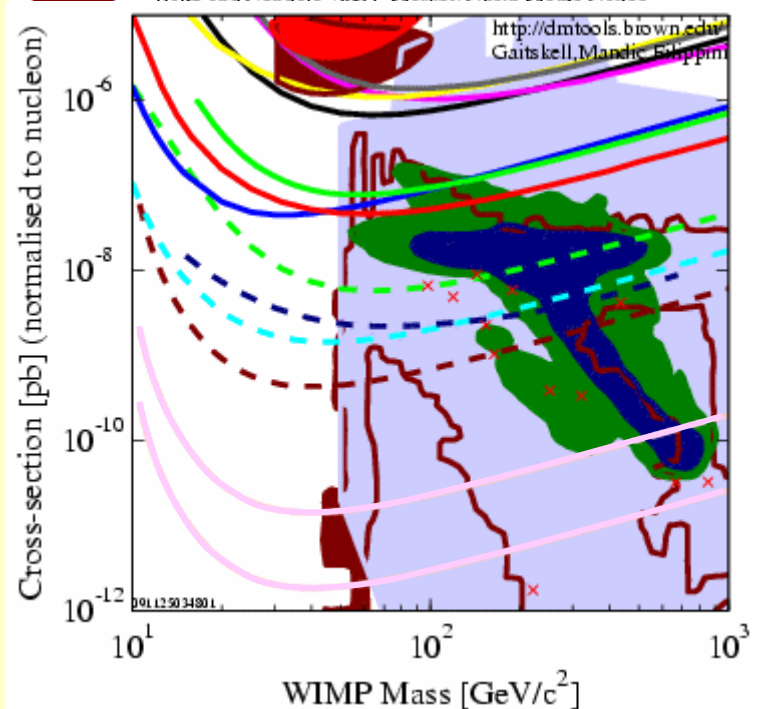
LZS@SUSEL - Sanford Underground Science and Engineering Lab. **4850 feet**
LZD@DUSEL - Deep Underground Science and Engineering Lab. **8000 feet**



11.04.2011

Д.Ю. Акимов, INR seminar

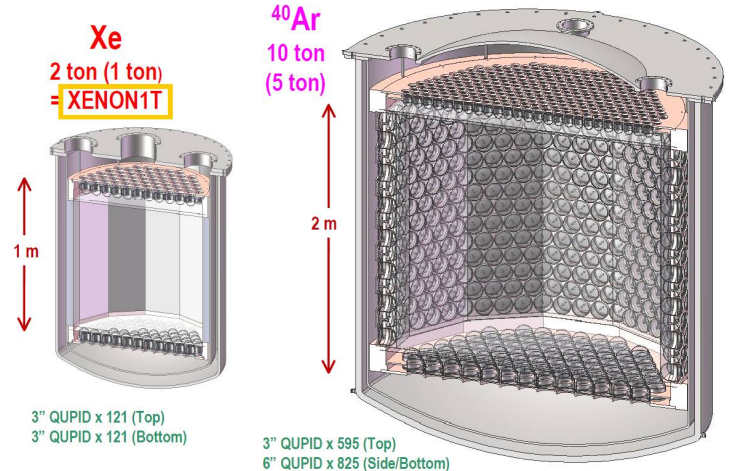
ZEPLINIII(yr 3,with PMT upgrade) Proj. Sens.
XMASS 800kg, FV 0.5 ton-year
XENON100 projected sensitivity: 6000 kg-d, 5-30 keV, +5% eff.
LUX 300 kg LXe Projection (Jul 2007)
Trotta et al 2008, CMSSM Bayesian: 68% contour
Trotta et al 2008, CMSSM Bayesian: 95% contour
LUX/ZEP 3 tonne LXe Proj (3 tonne-year)
LZ20T LXe Proj (10 evt sens,13t-kdy)
Ellis et. al Theory region post-LEP benchmark points
Baltz and Gondolo 2003



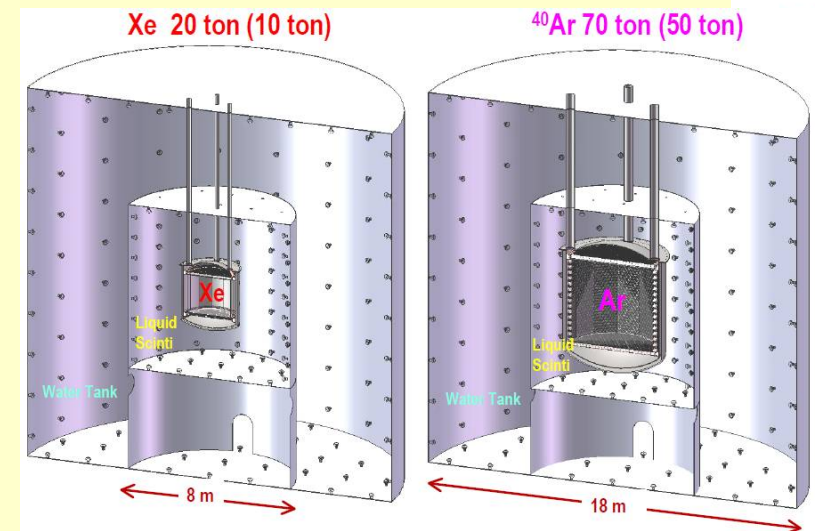
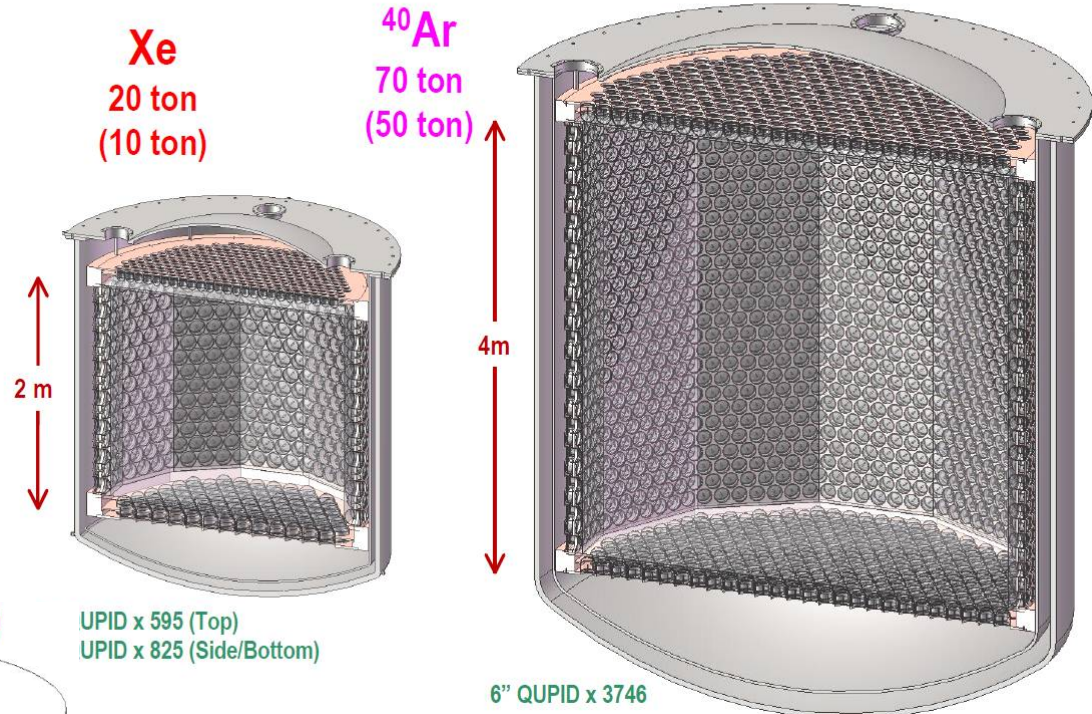
54

Projects: эксперимент MAX

MAX – G2 Detector



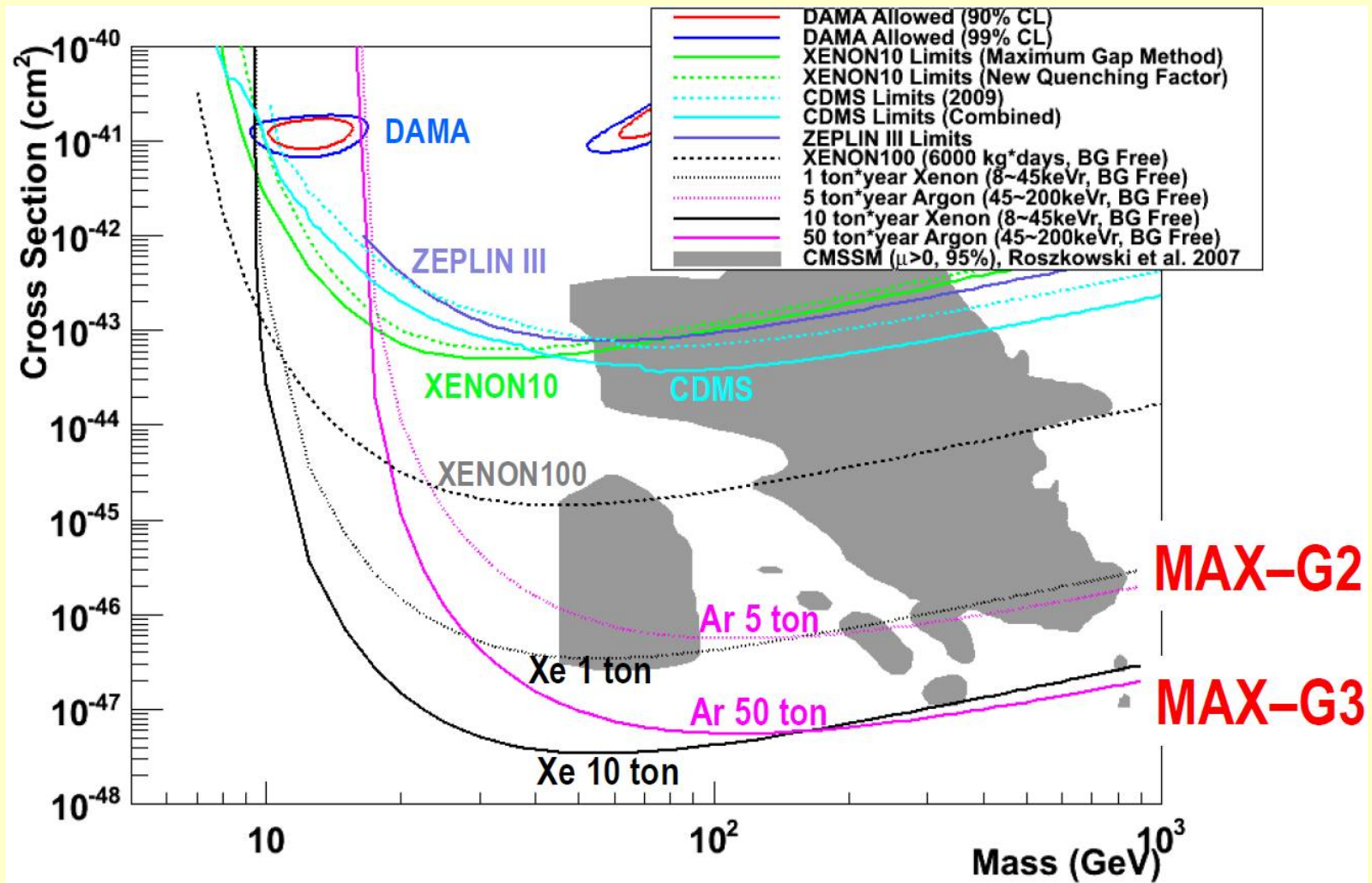
MAX – G3 Detector



DUSEL –
Deep Underground Science and
Engineering Laboratory
8000 feet \approx 2500 м!
Южная Дакота, США

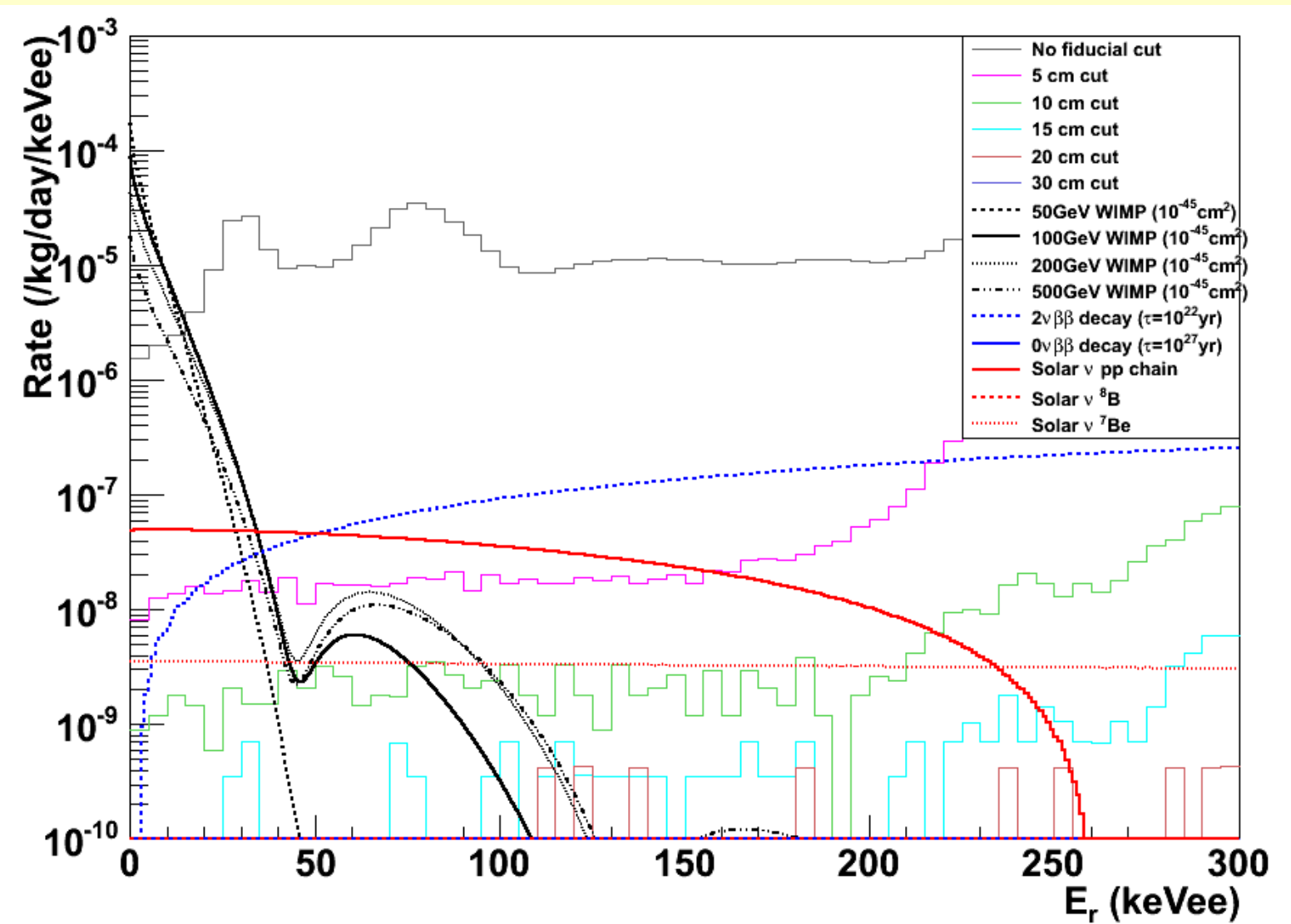
КИМОВ, INR seminar

Projects: эксперимент MAX

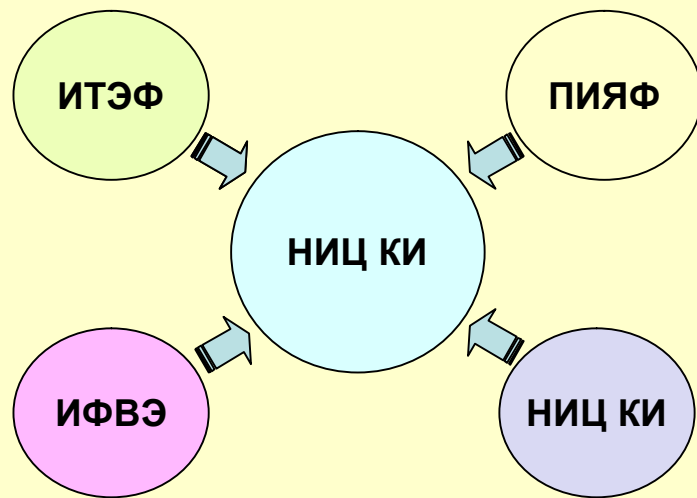


Projects: эксперимент MAX

After multi-hit cut and S2/S1 cut



Projects: что в России?



Коллаборация РЭД:
ИТЭФ, ПИЯФ, НИЦ КИ – **НИЦ КИ**
МИФИ, ИЯФ, НИИЯФ МГУ

В настоящее время идет
разработка детекторов

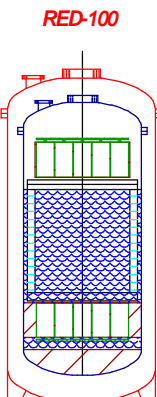
11.04.2011

Д.К



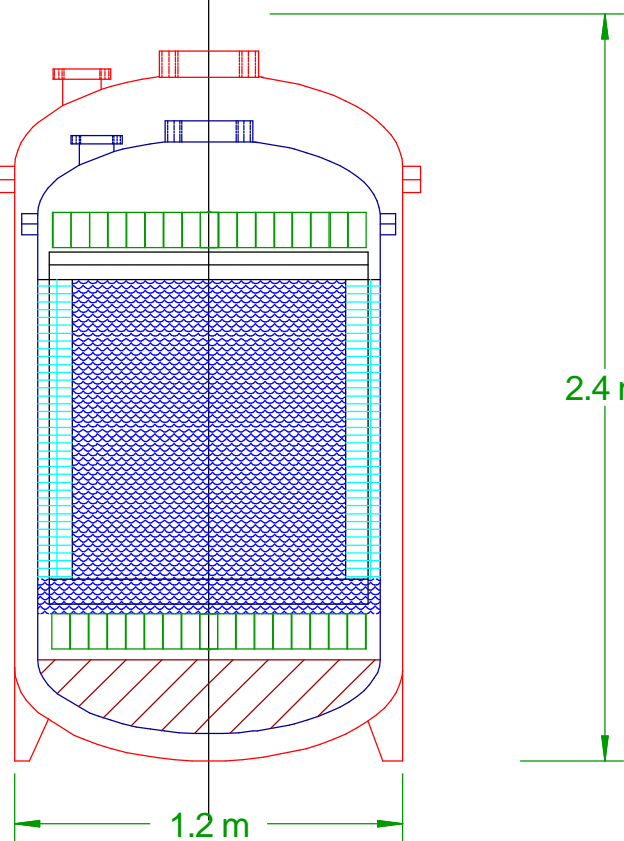
РОССИЙСКИЙ ЭМИССИОННЫЙ ДЕТЕКТОР

Для поиска ν -N
когерентного
рассеяния



RED-3000

Для поиска Темной Материи



Special development: low-radioactive photodetectors

by ETL:



ZEPLIN III

U - 0.17 ± 0.04 mBq/PMT
 Th - 0.20 ± 0.09 mBq/PMT
 K - 10 ± 1 mBq/PMT

Metal strips to increase conductivity of photocathode at low temp.

R8520
1 inch

R8778
2 inch

QUPID
3 inch

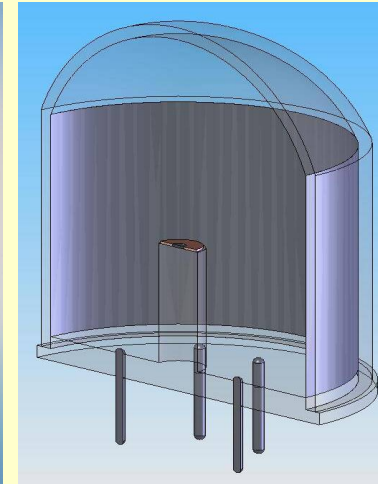
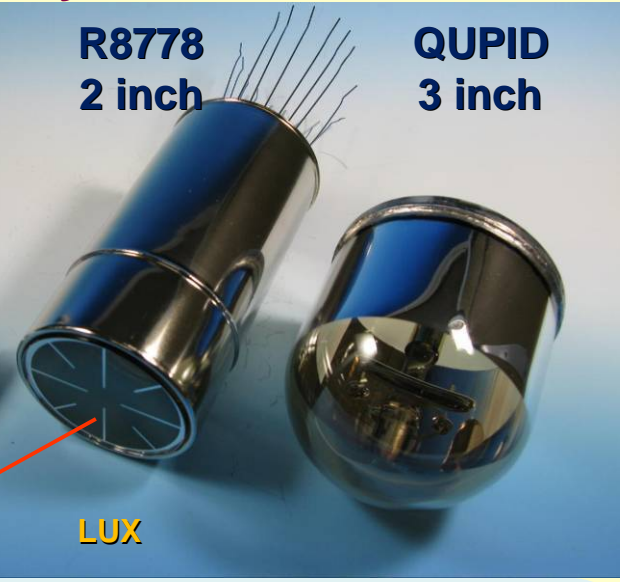
XENON10
XENON100

LUX

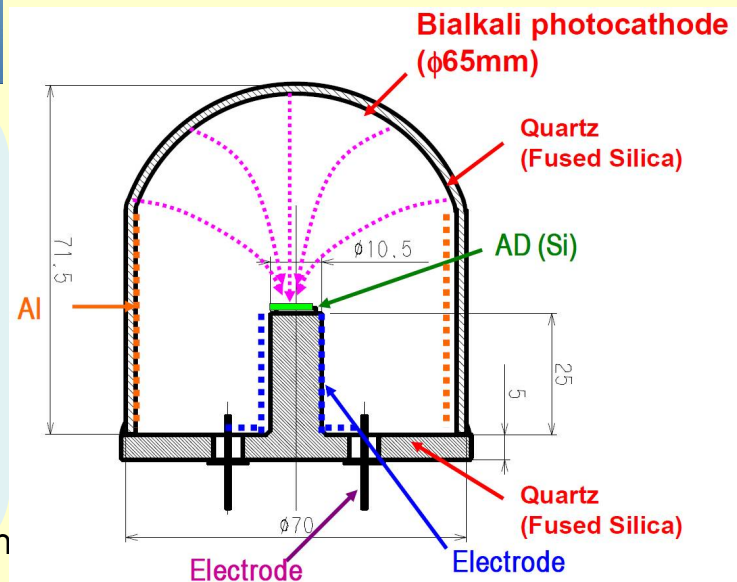
LUX (R8778):
U - 9 mBq/PMT
Th - 3 mBq/PMT

XMASS (R8778mod):
U - 1.8 mBq/PMT
Th - 0.7 mBq/PMT
K - 1.4 mBq/PMT

by Hamamatsu:

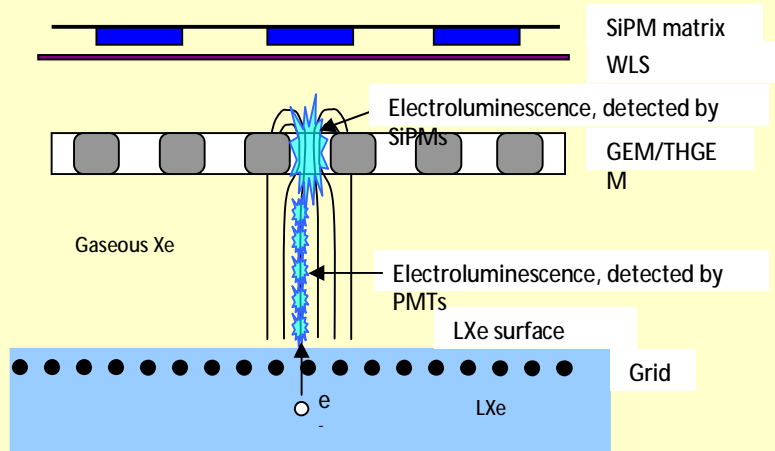


A. Fukasawa et al.,
talk at TIPP 09

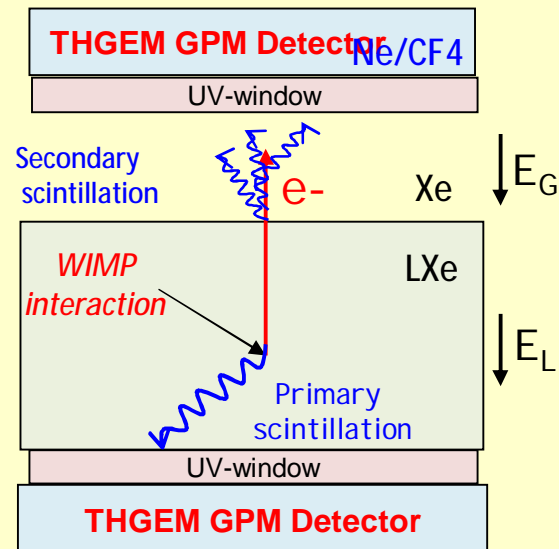


Special development: charge readout with THGEM (LEM)

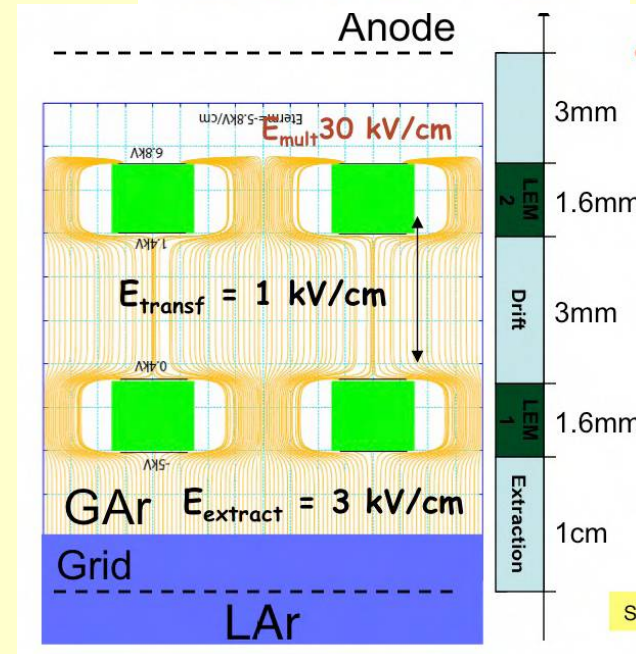
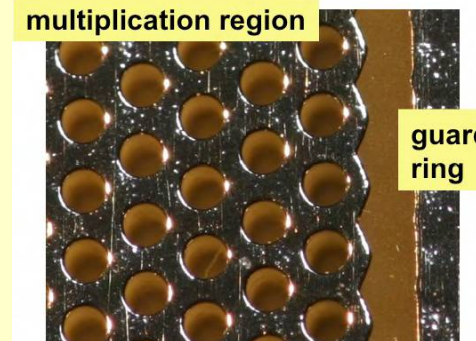
ITEP&INP



RD51: Weizmann/Nantes/Coimbra



accepted as a base option for ArDM



Заключение

- Имеются очень сильные свидетельства существования Темной Материи.
- Эксперименты по прямому детектированию идут полным ходом.
- Благодаря прогрессу в технологиях, с начала экспериментов по настоящее время фон в установках уменьшен на 5 порядков величины!
- Супердетекторы (с массой более тонны) пройдут практически весь диапазон предсказаний SUSY.

BACKUP SLIDES

Useful bibliography resources

- Internet recourses:

- Dark Matter (**DM**) and DM related conferences: DM (<http://www.physics.ucla.edu/hep/dm10/presentations.html>), idm, Dark, TAUP, NANP
- Public pages of the DM experiments/collaborations: EDEIWEISS, CDMS, ZEPLIN, Xenon, DAMA ...
- Wikipedia: http://en.wikipedia.org/wiki/Dark_matter and many related topics therein
- <http://elementy.ru/lib/25560/25563> - very good video lecture of V.A. Rubakov
- T.J. Sumner, Experimental Searches for Dark Matter - on-line review <http://relativity.livingreviews.org/Articles/lrr-2002-4/>
- Teilchenastrophysik (translated to Russian: **Астрофизика элементарных частиц**) H.V. Klapdor-Kleingrothaus, K. Zuber, published by Teubner B.G. GmbH (1997)
- D. Yu. Akimov, Experimental Methods for Particle Dark Matter Detection-Review, Instrum. Exp. Tech. 44 (2001) 575-617
- D. Akimov, Techniques and results for the direct detection of dark matter (review). Nuclear Instruments and Methods in Physics Research A 628 (2011) 501-504.2011

Астрофизические свидетельства

Открыта галактика, состоящая из Тёмной Материи!

В феврале 2005 (arXiv:astro-ph/0502312)

астрономы из Cardiff University открыли галактику
**VIRGOHI21 практически полностью состоящую из Тёмной
Материи!**

В ней нет звёзд, только один водород видимый в линии
21 см; водород вращается, и его скорость не убывает с
расстоянием

$M_H:M_{total} = 1:1000$



Projects: эксперимент MAX

